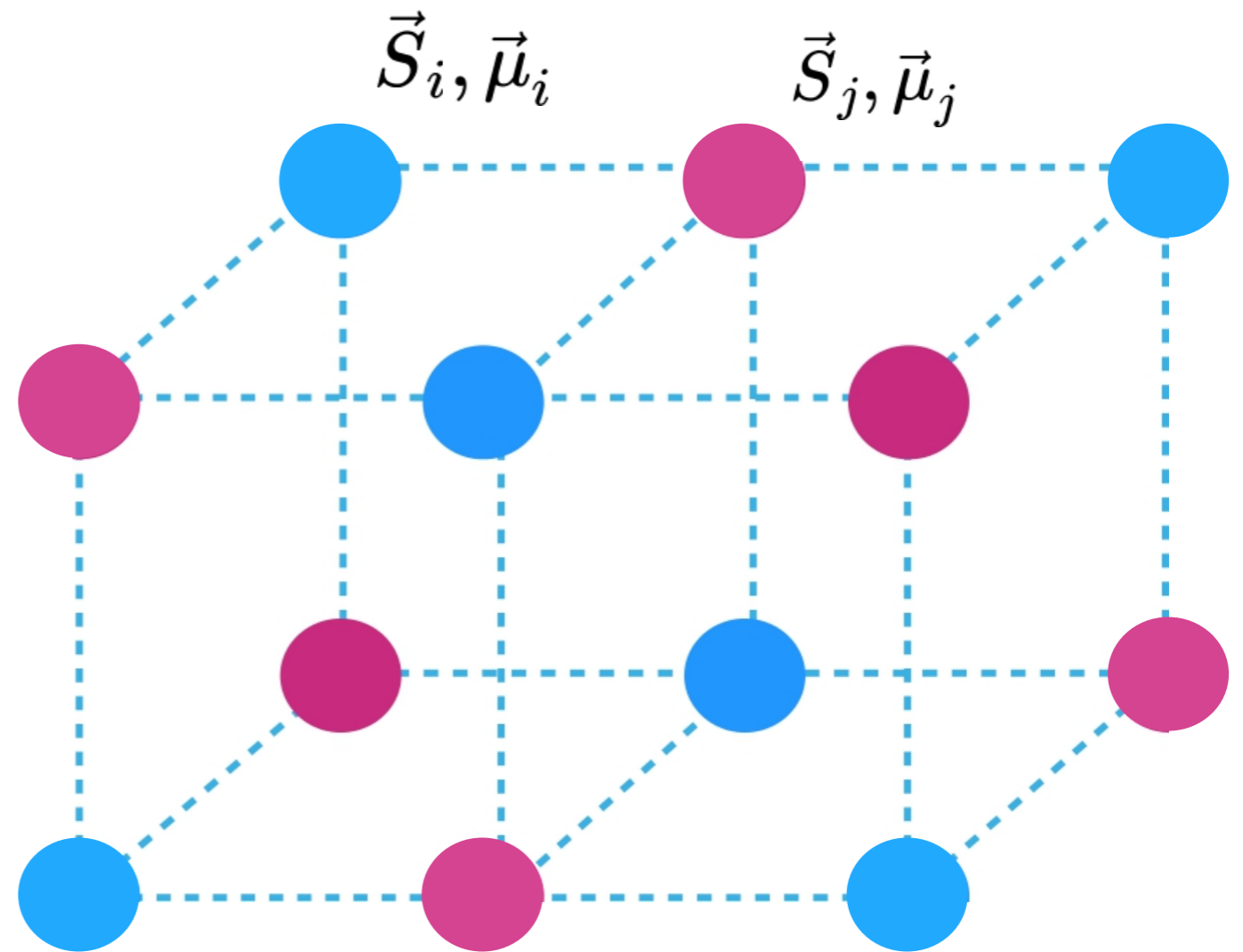


The background features a series of thin, light gray wavy lines that create a sense of motion and depth, resembling a stylized wave or a series of overlapping curves. The lines are more densely packed in some areas, creating a gradient effect.

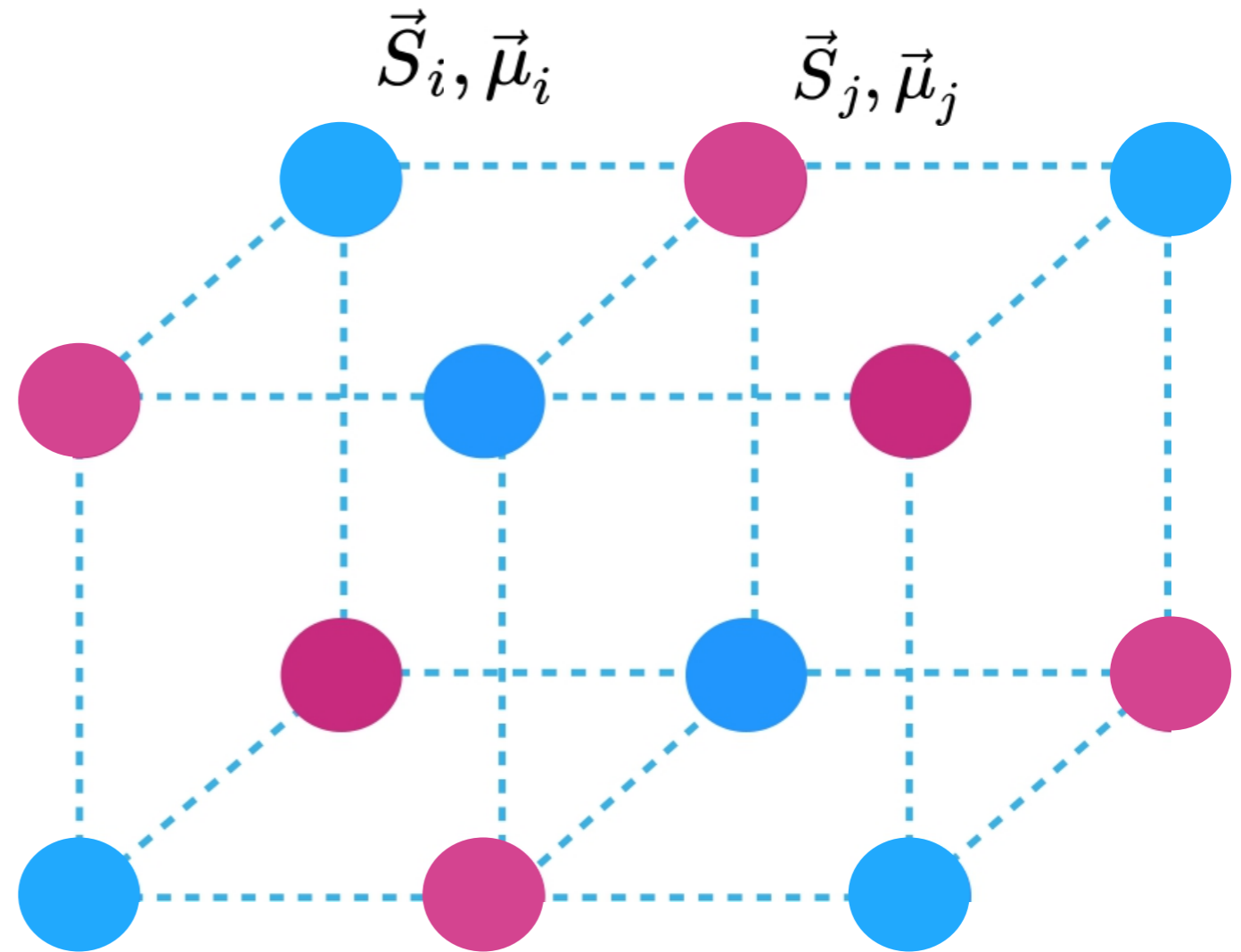
АНТИФЕРРОМАГНИТНЫЙ РЕЗОНАНС

магнитный кристалл



обменное взаимодействие

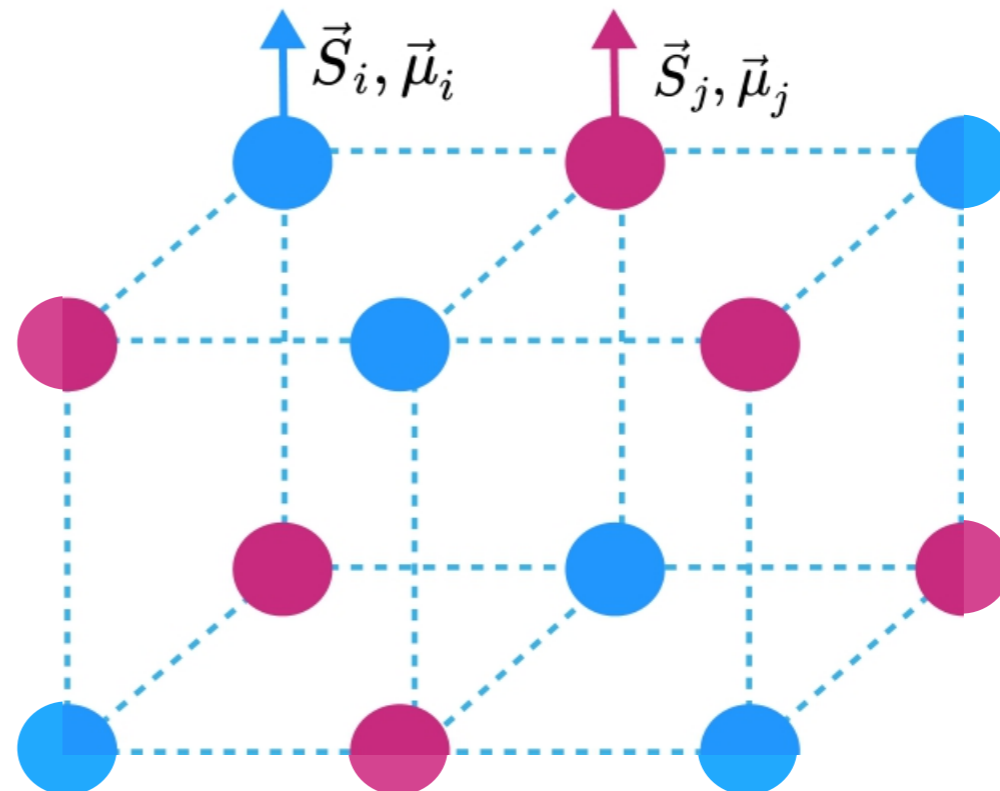
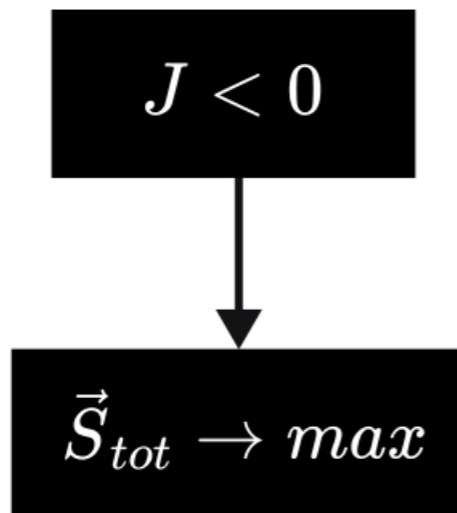
$$\mathcal{H} = \sum_{\langle ij \rangle} J_{ij} (\vec{S}_i \cdot \vec{S}_j)$$



обменное взаимодействие

$$2(\vec{S}_i \cdot \vec{S}_j) = (\vec{S}_i + \vec{S}_j)^2 - (\vec{S}_i)^2 - (\vec{S}_j)^2$$

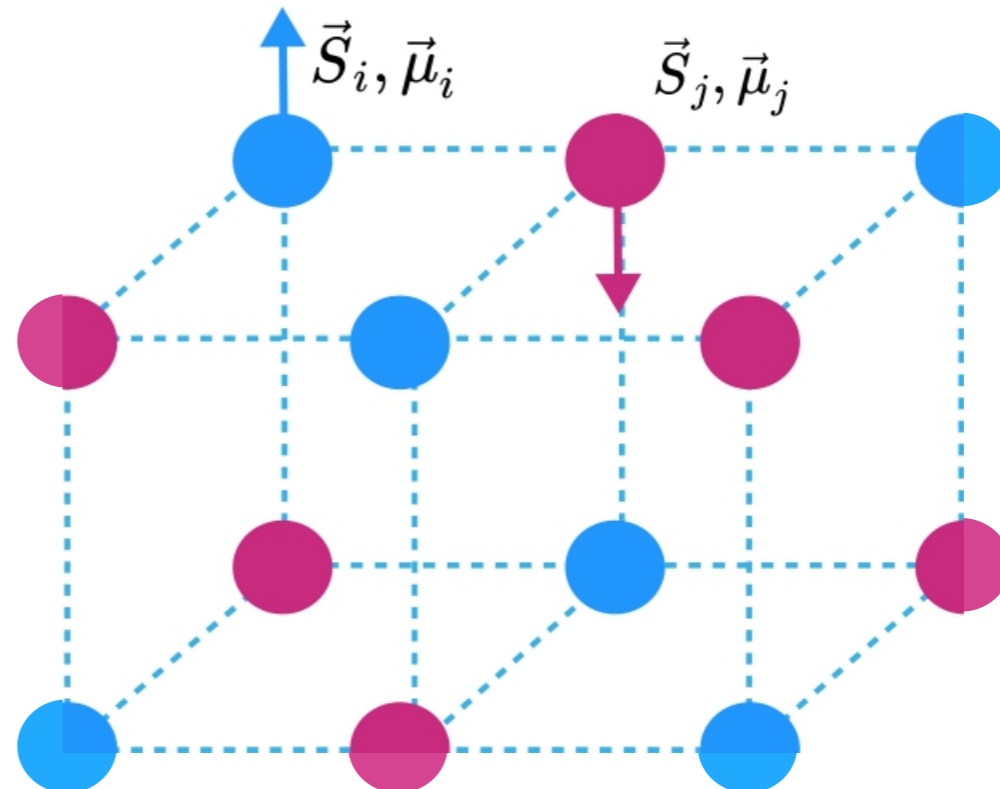
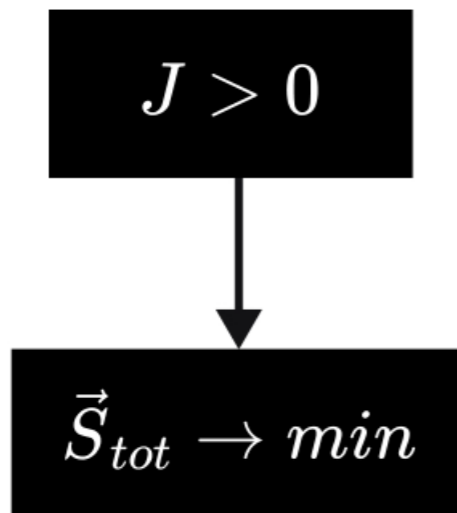
$$\mathcal{H} = J \sum_{\langle ij \rangle} (\vec{S}_i \cdot \vec{S}_j) = \frac{J}{2} \sum_{\langle ij \rangle} [(\vec{S}_{tot})^2 - (\vec{S}_i)^2 - (\vec{S}_j)^2]$$



обменное взаимодействие

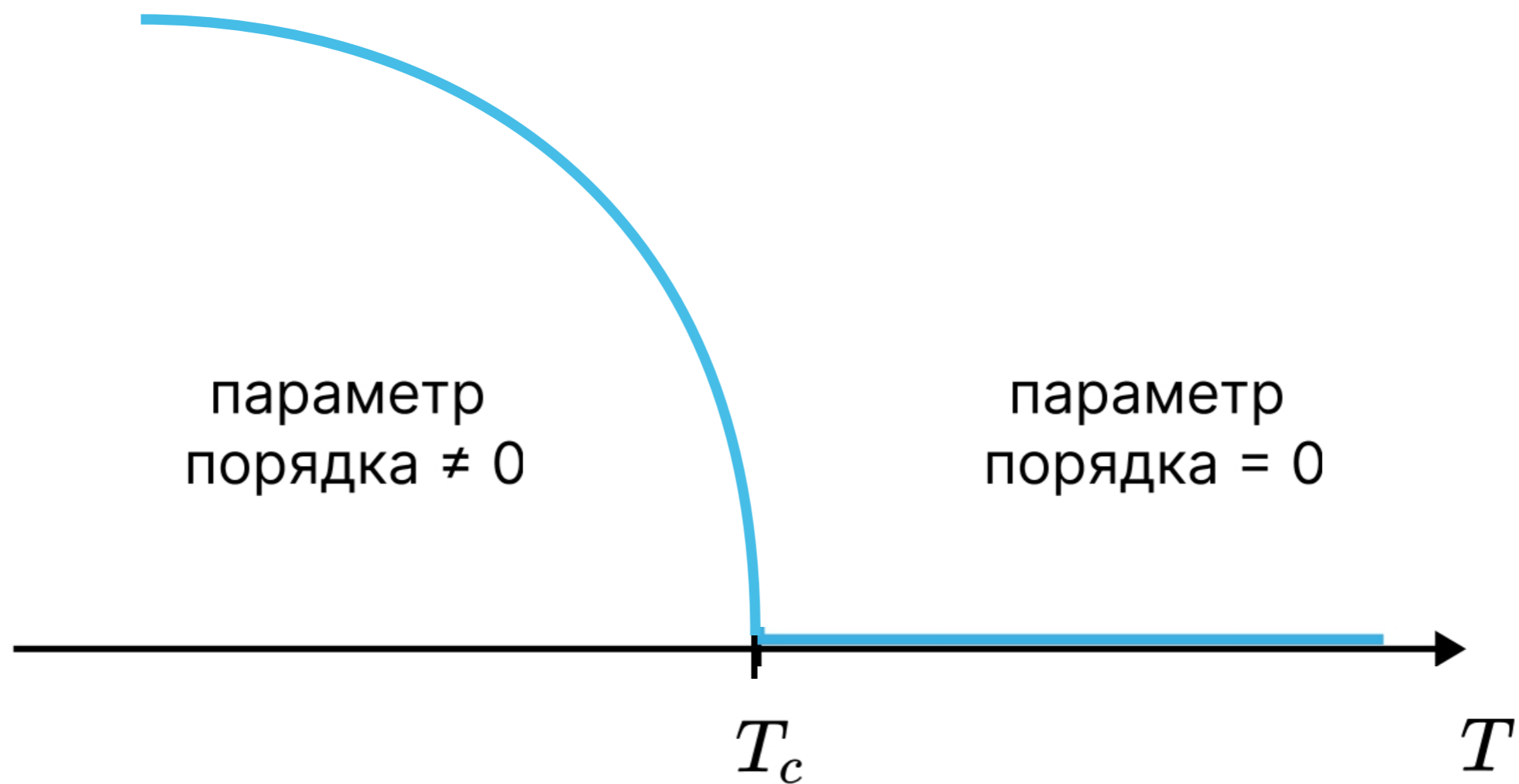
$$2(\vec{S}_i \cdot \vec{S}_j) = (\vec{S}_i + \vec{S}_j)^2 - (\vec{S}_i)^2 - (\vec{S}_j)^2$$

$$\mathcal{H} = J \sum_{\langle ij \rangle} (\vec{S}_i \cdot \vec{S}_j) = \frac{J}{2} \sum_{\langle ij \rangle} [(\vec{S}_{tot})^2 - (\vec{S}_i)^2 - (\vec{S}_j)^2]$$

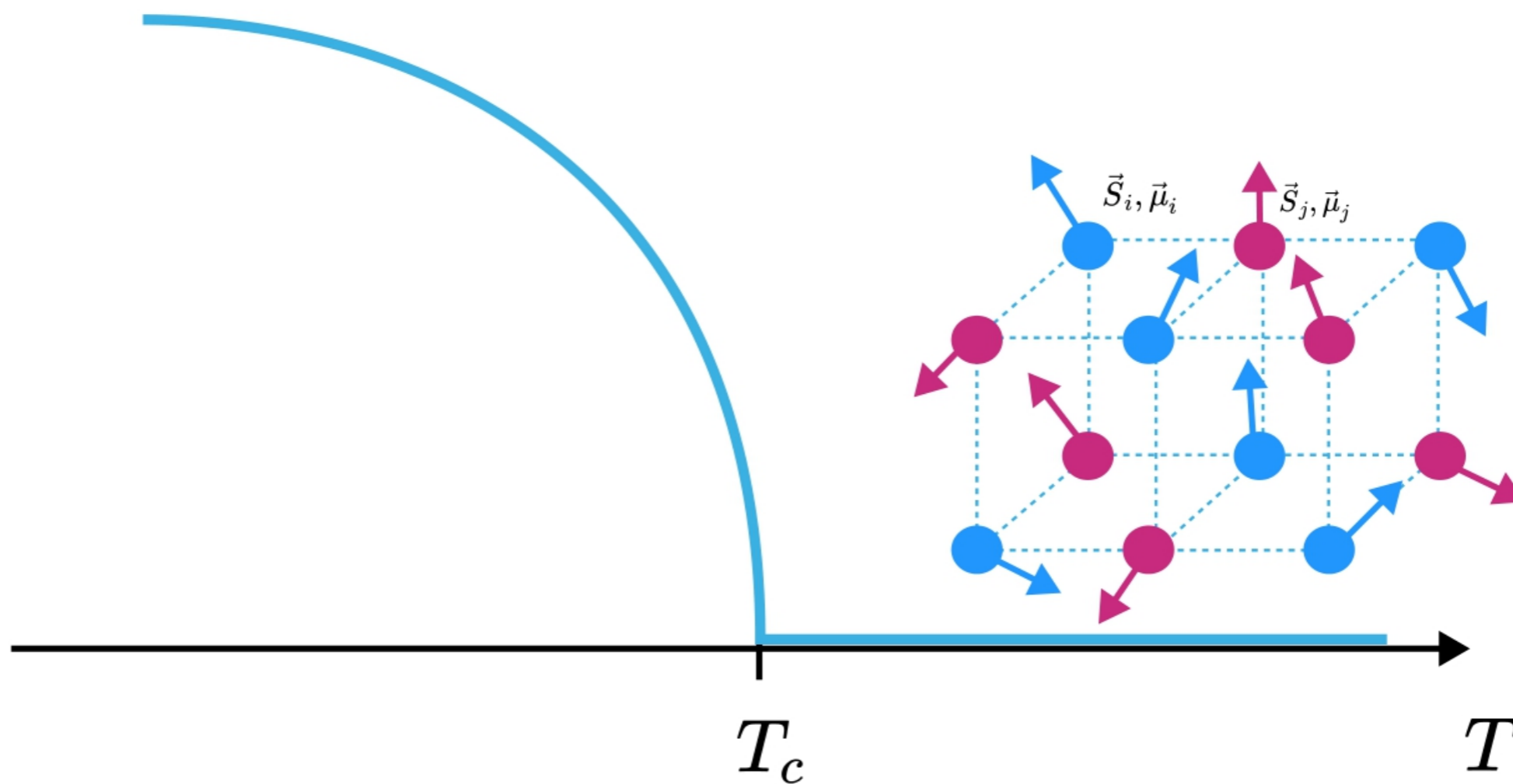
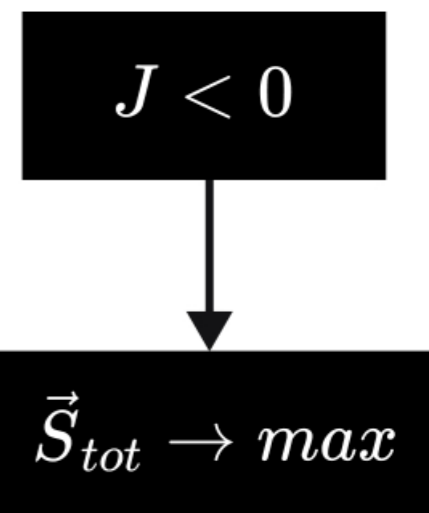


**а как такие системы
упорядочиваются?**

параметр порядка

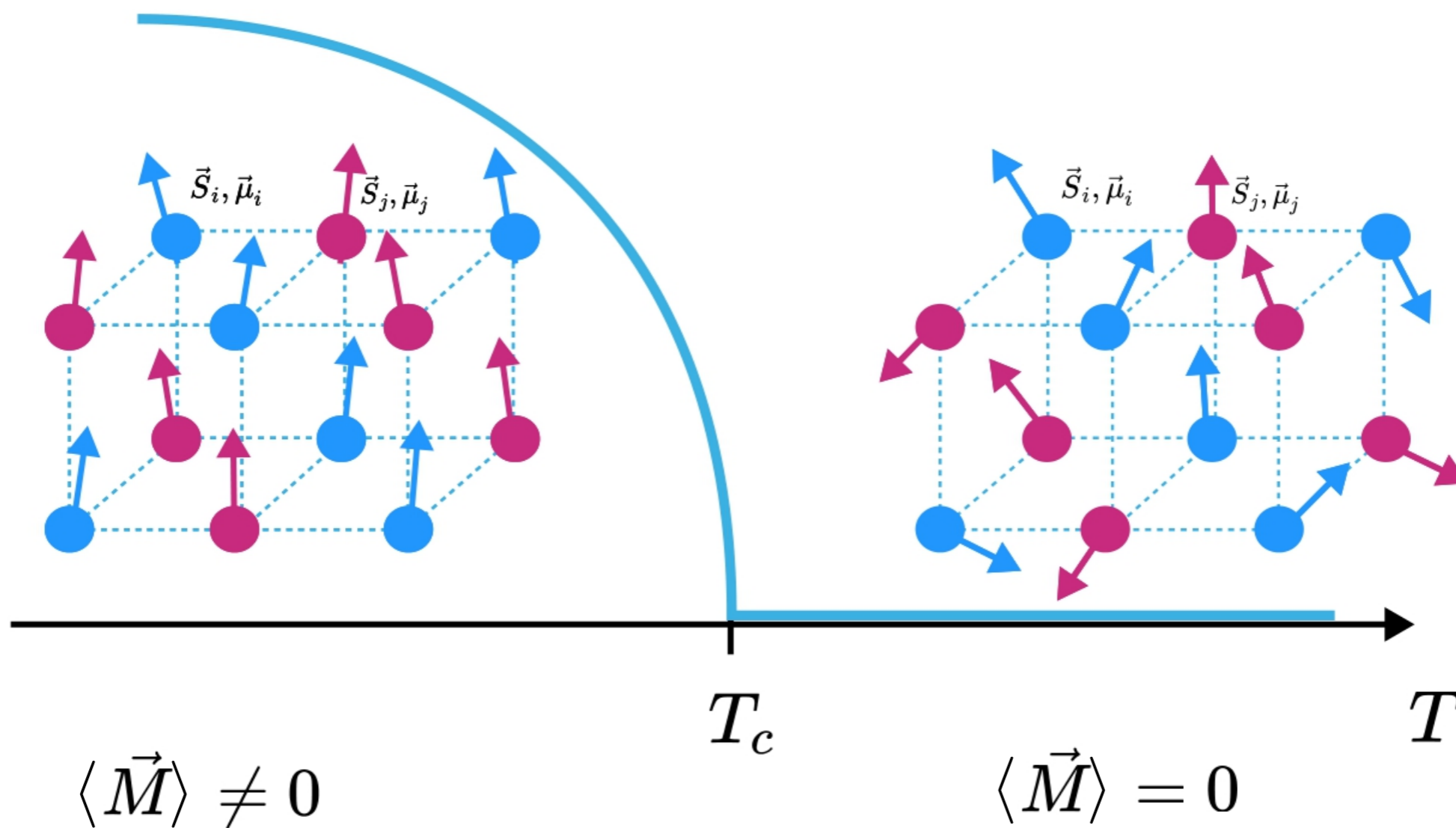
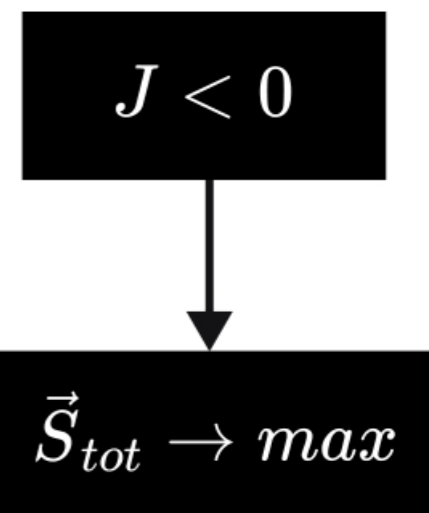


параметр порядка



параметр
порядка = 0

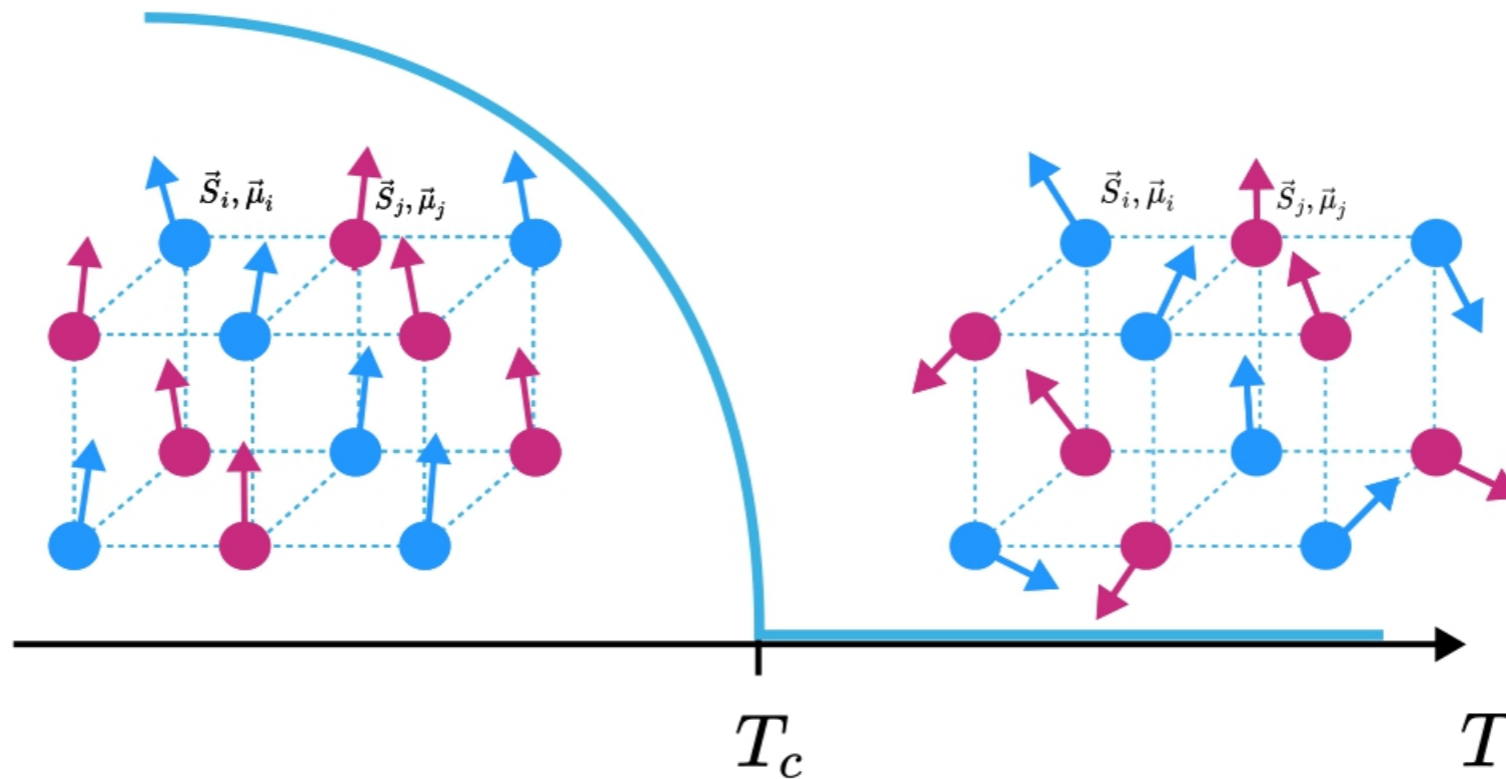
ферромагнитный порядок



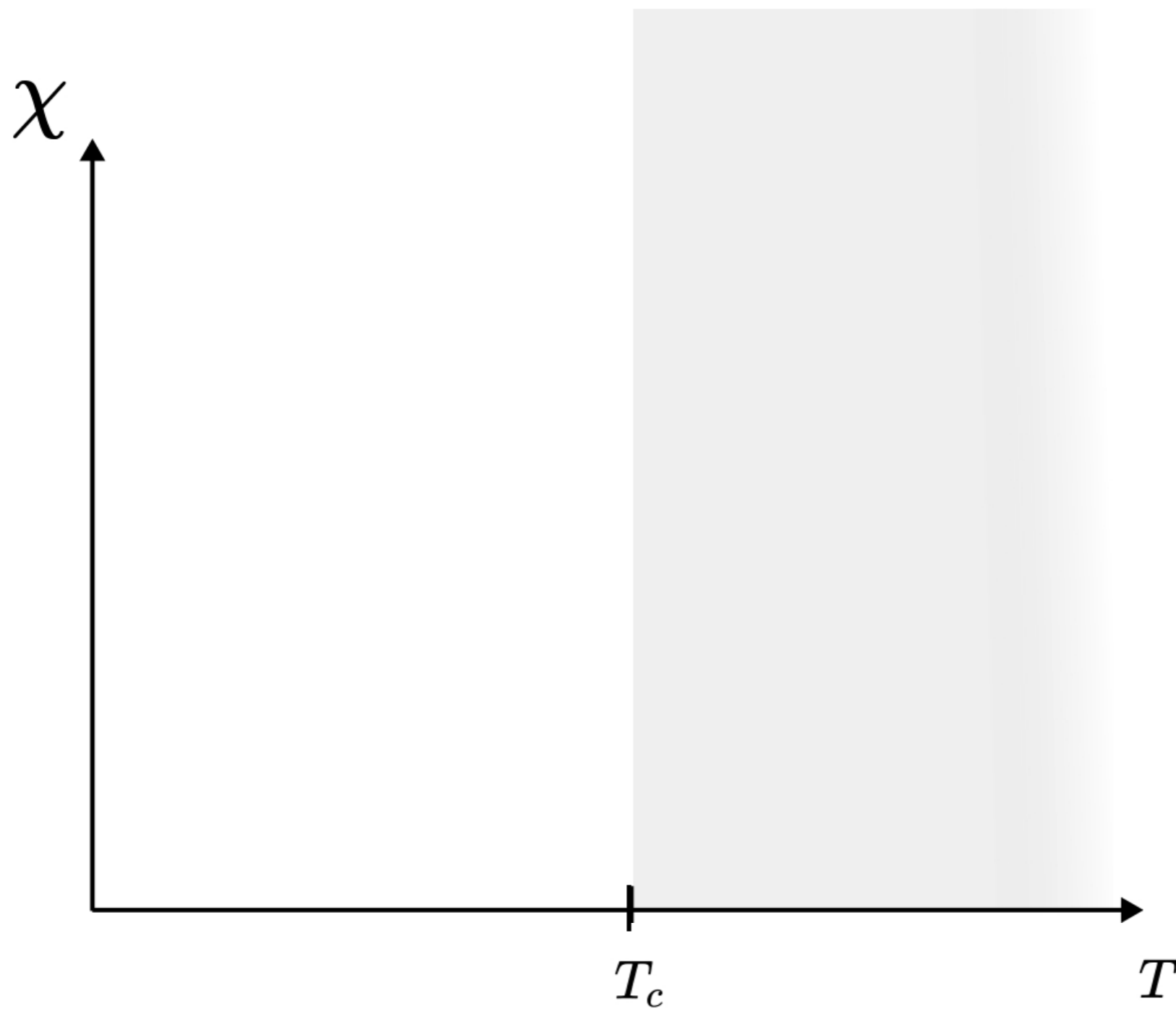
ФМ переход

приближение среднего поля:

$$\vec{B}_E = \lambda \vec{M}$$



ФМ переход

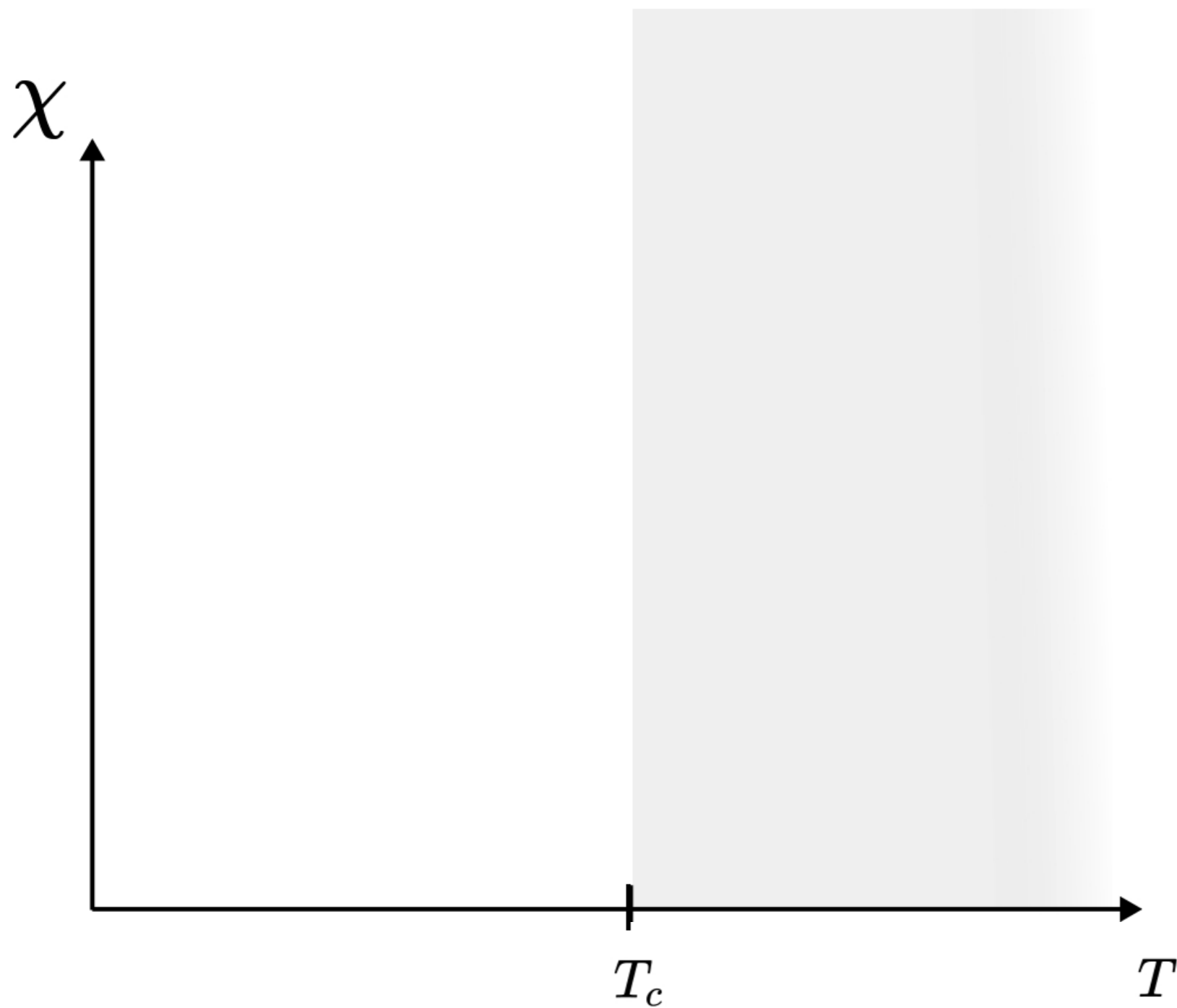


$$T_c < T$$

$$\chi = \frac{C}{T}$$

$$M = \chi(B + B_E)$$

ФМ переход



$$T_c < T$$

$$\chi = \frac{C}{T}$$

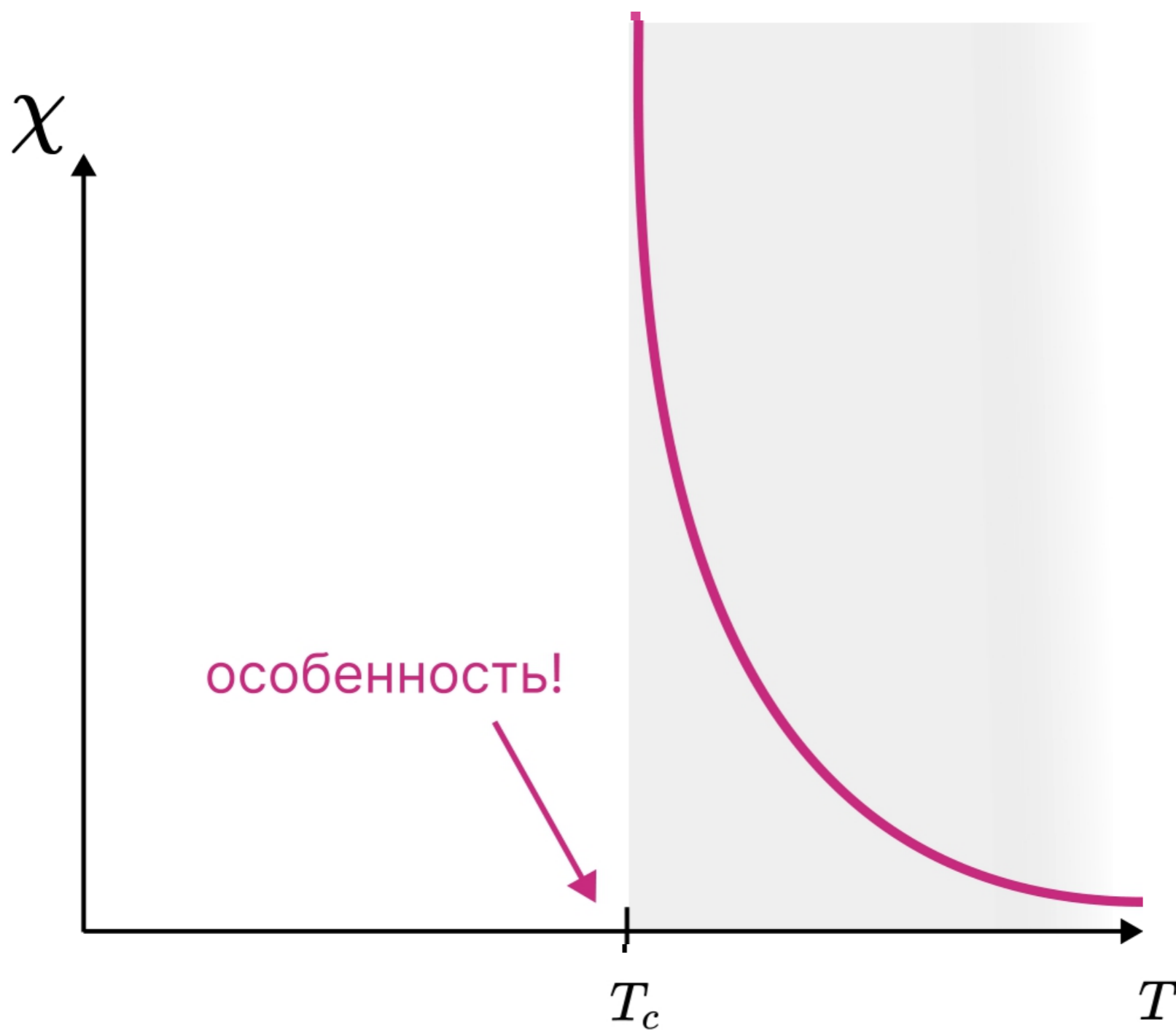
$$M = \chi(B + B_E)$$



$$\chi = \frac{B}{M} = \frac{C}{T - C\lambda}$$

ФМ переход

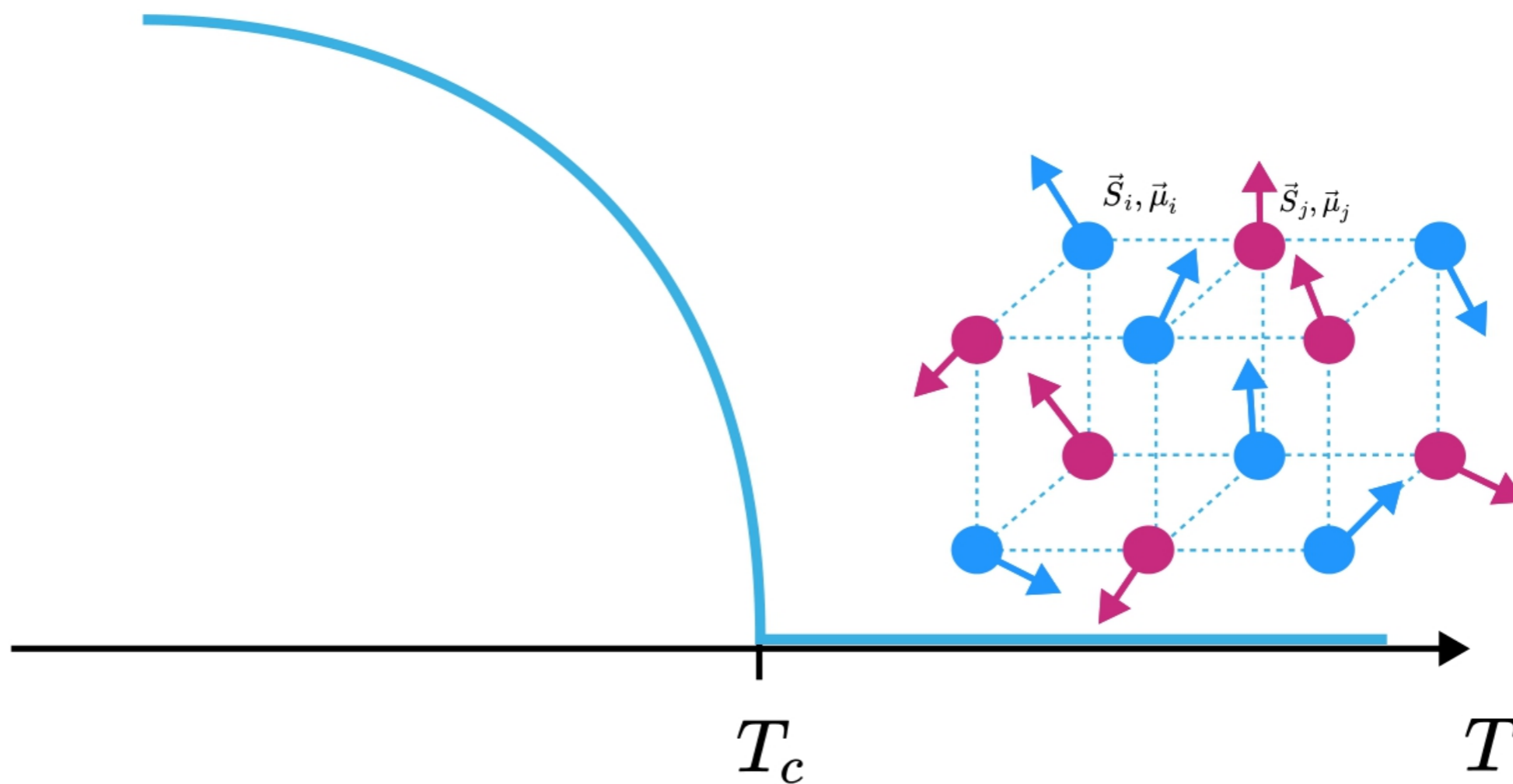
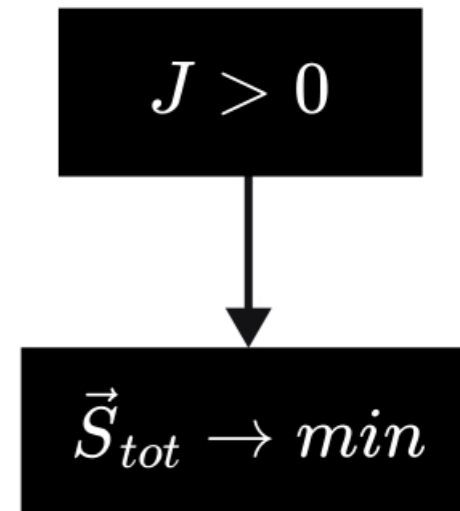
$$T_c < T$$



Закон
Кюри-Вейсса

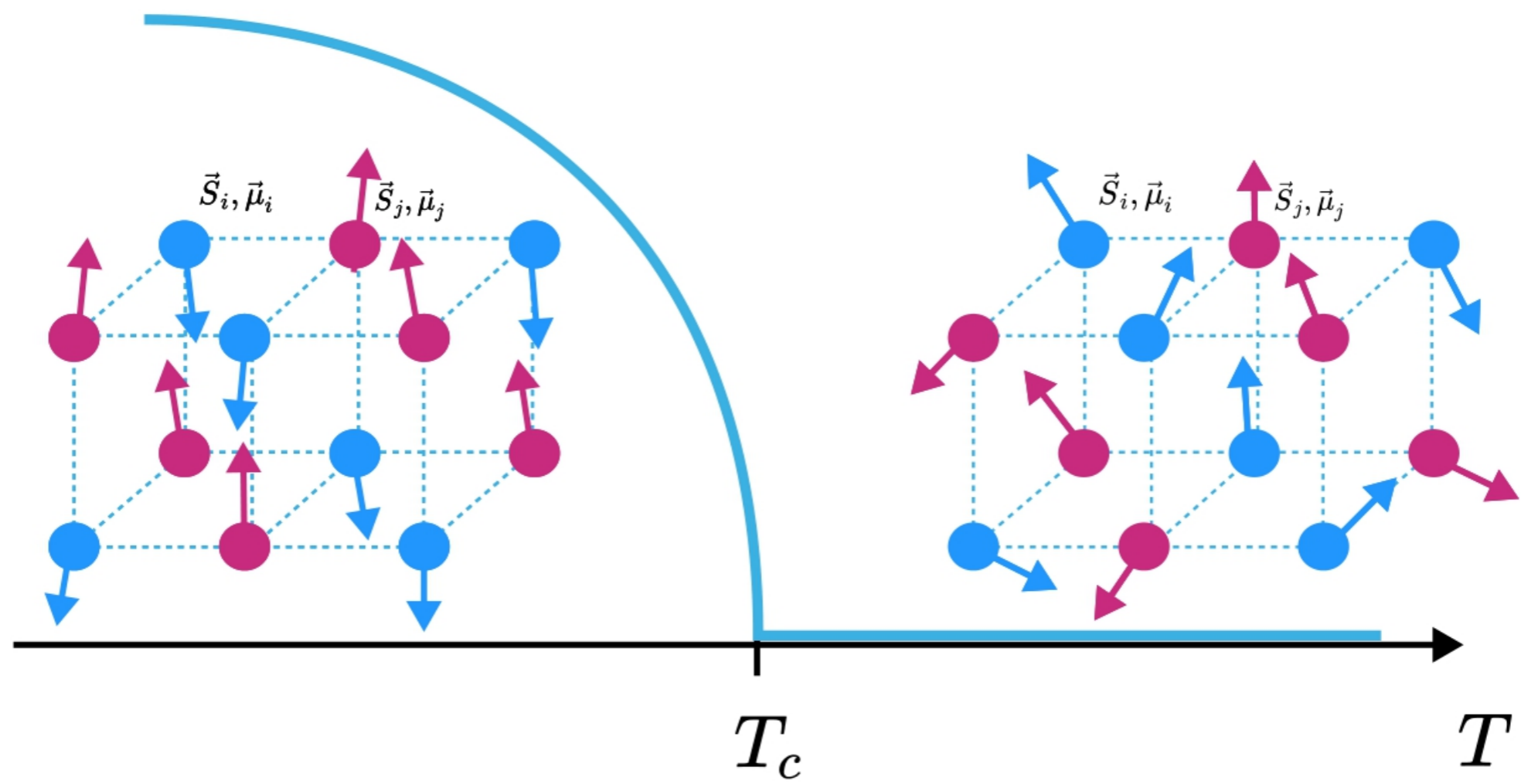
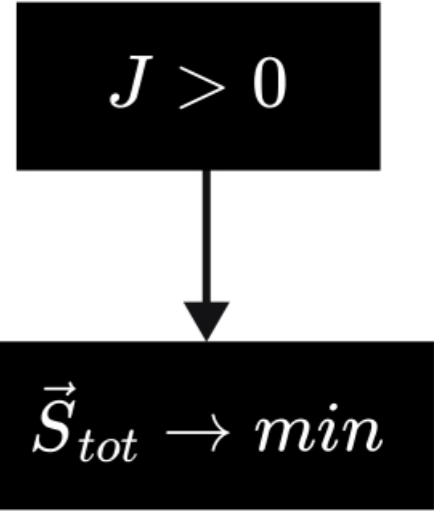
$$\chi = \frac{B}{M} = \frac{C}{T - C\lambda}$$

антиферромагнитный порядок



параметр
порядка = 0

антиферромагнитный порядок



$$\vec{L} = \vec{M}_1 - \vec{M}_2 \neq 0$$

$$\vec{L} = \vec{M}_1 - \vec{M}_2 = 0$$

подрешётки



$$\vec{M} = \vec{M}_1 + \vec{M}_2 = 0$$

$$\vec{L} = \vec{M}_1 - \vec{M}_2 \neq 0$$

АФМ переход



приближение среднего поля
отдельно для каждой подрешетки:

$$\vec{B}_1 = -\eta\vec{M}_1$$

$$\vec{B}_2 = -\eta\vec{M}_2$$

АФМ переход



из аналогичных соображений:

$$M_1 = \frac{C}{T} (B - \eta M_1)$$

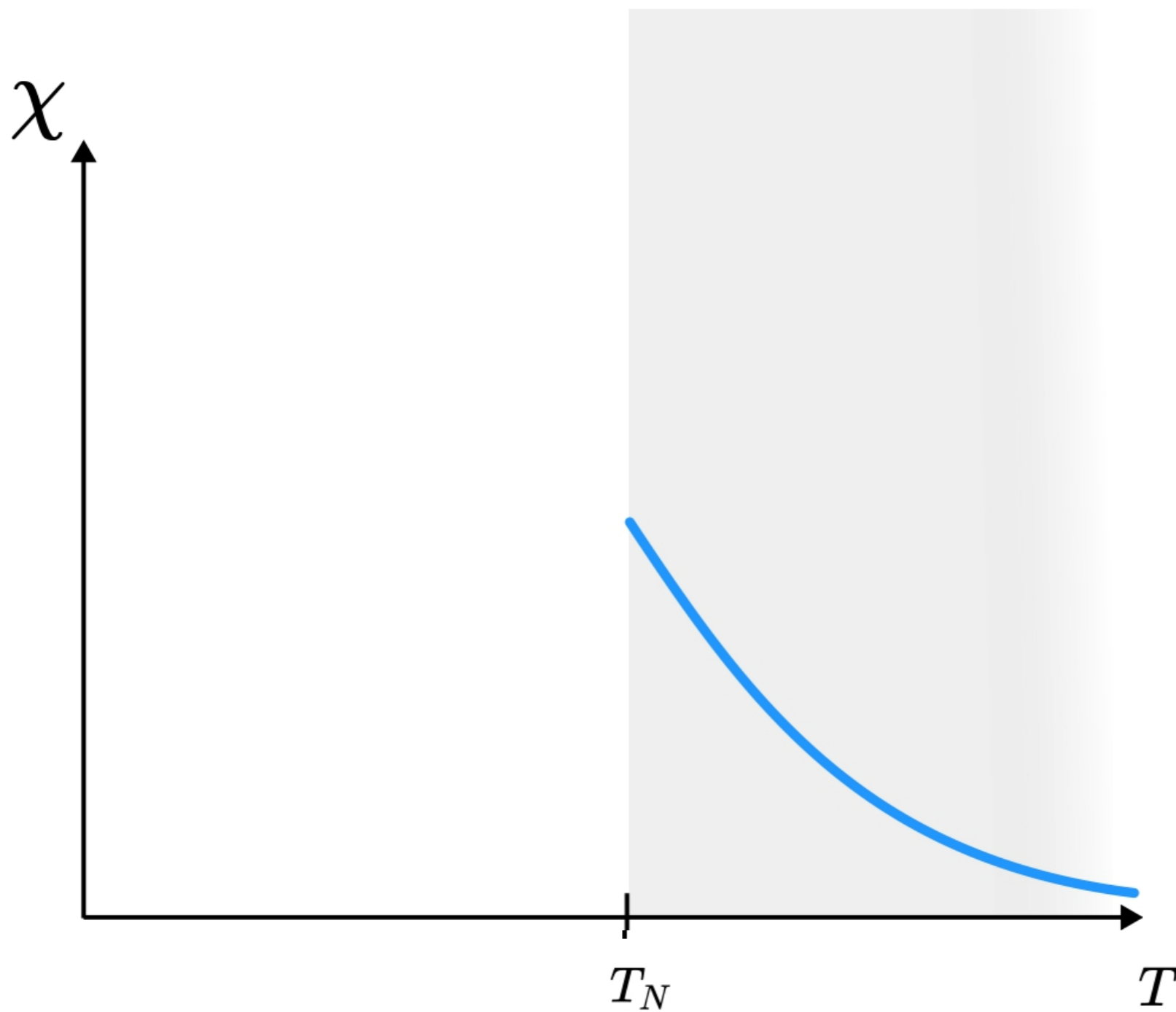
$$M_2 = \frac{C}{T} (B - \eta M_2)$$



$$\chi = \frac{M_1 + M_2}{B} = 2 \frac{CT - \eta C^2}{T^2 - T_c^2} = \frac{2C}{T + \eta C} = \frac{2C}{T + T_N}$$

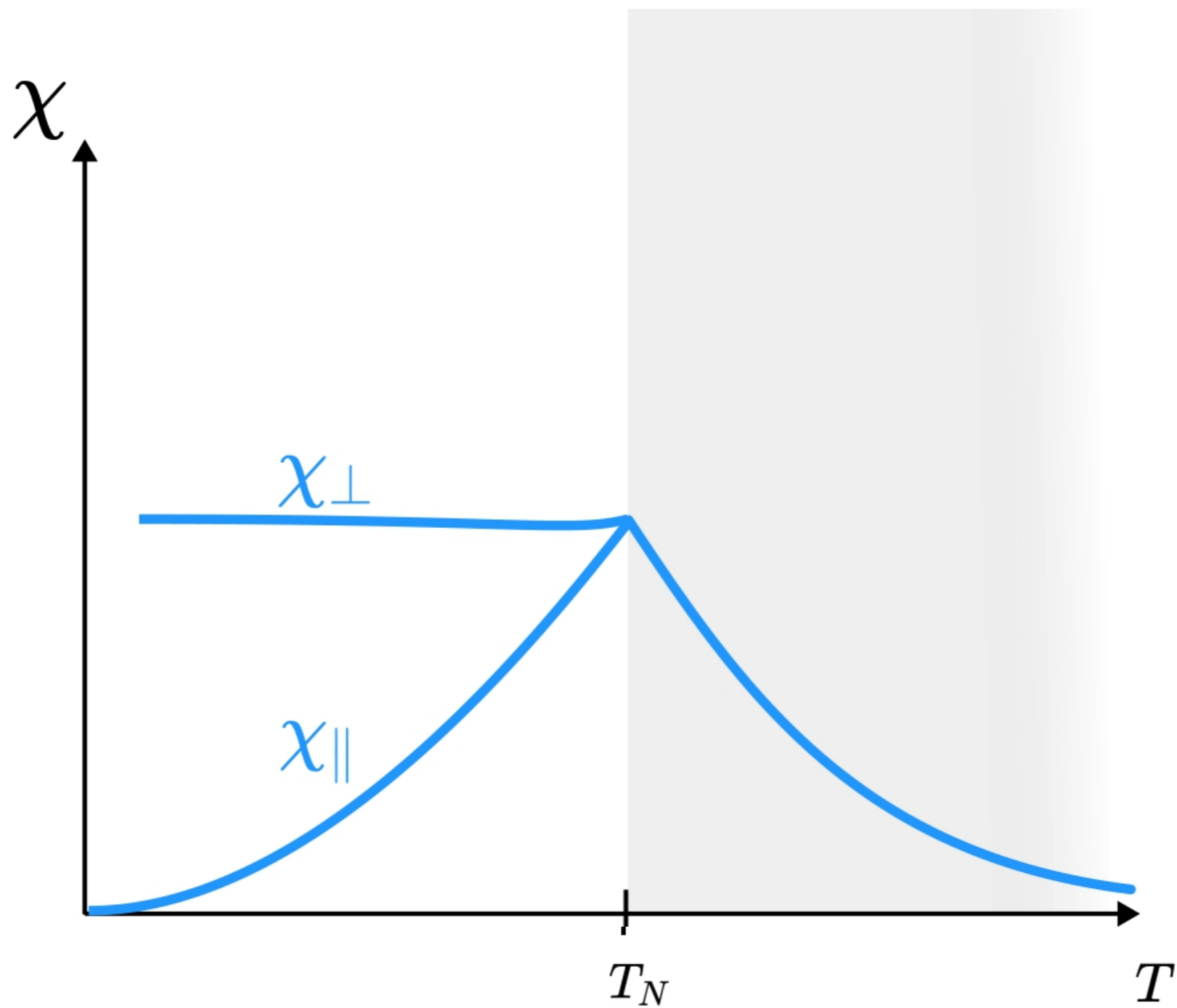
АФМ переход

$$T_c < T$$

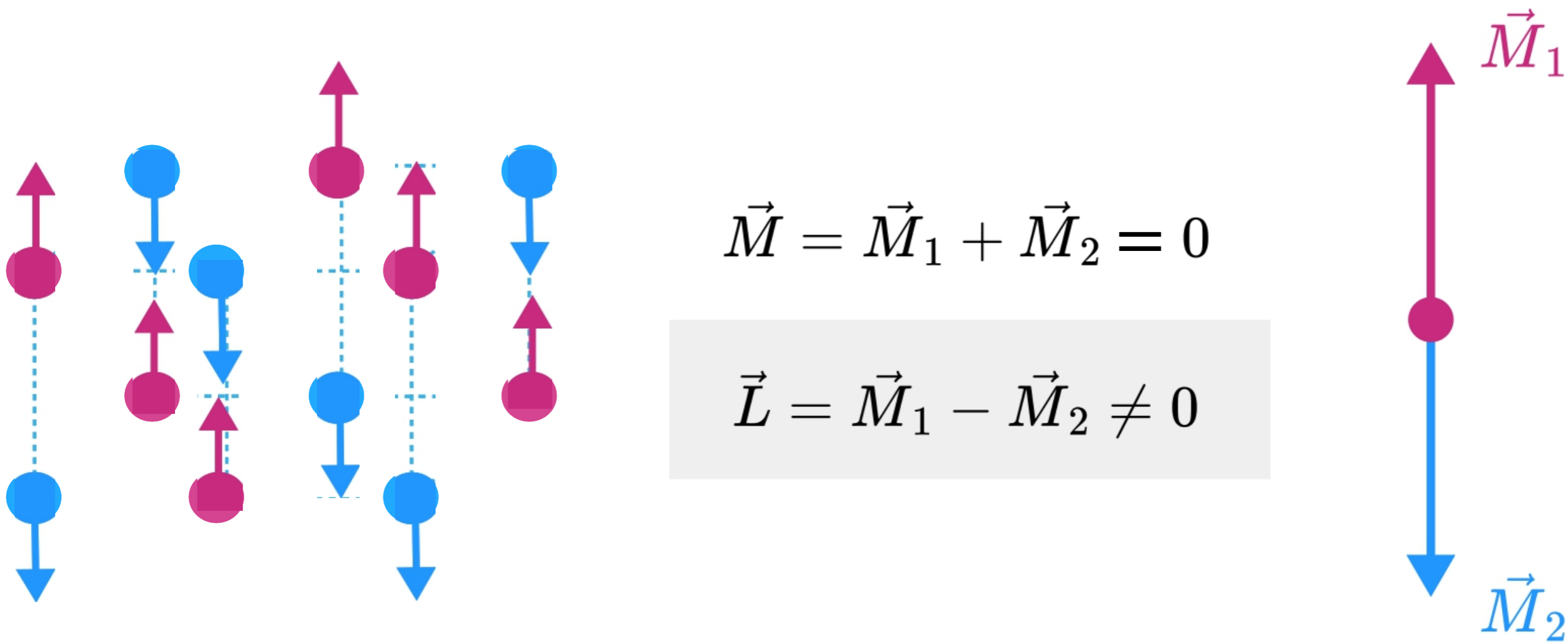


$$\chi = \frac{2C}{T + T_N}$$

АФМ переход



как устроена динамика упорядоченной системы?



уравнения движения

$$\frac{d\vec{M}_1}{dt} = \gamma \vec{M}_1 \times \vec{H}_E^1$$

$$\frac{d\vec{M}_2}{dt} = \gamma \vec{M}_2 \times \vec{H}_E^2$$



$$(\vec{M}_\alpha / \gamma)^2 = \text{const}$$

эффeктивное поле

$$\frac{d\vec{M}_1}{dt} = \gamma \vec{M}_1 \times \vec{H}_E^1$$

$$\frac{d\vec{M}_2}{dt} = \gamma \vec{M}_2 \times \vec{H}_E^2$$



$$\vec{H}_E^\alpha = - \frac{\partial \Phi}{\partial \vec{M}_\alpha}$$



$$(\vec{M}_\alpha / \gamma)^2 = \text{const}$$

$$\frac{1}{\gamma} \frac{\partial \vec{L}}{\partial t} = \vec{L} \times \frac{\partial \Phi}{\partial \vec{M}} + \vec{M} \times \frac{\partial \Phi}{\partial \vec{L}}$$

$$\frac{1}{\gamma} \frac{\partial \vec{M}}{\partial t} = \vec{M} \times \frac{\partial \Phi}{\partial \vec{M}} + \vec{L} \times \frac{\partial \Phi}{\partial \vec{L}}$$

решение

$$\frac{1}{\gamma} \frac{\partial \vec{L}}{\partial t} = \vec{L} \times \frac{\partial \Phi}{\partial \vec{M}} + \vec{M} \times \frac{\partial \Phi}{\partial \vec{L}}$$

$$\frac{1}{\gamma} \frac{\partial \vec{M}}{\partial t} = \vec{M} \times \frac{\partial \Phi}{\partial \vec{M}} + \vec{L} \times \frac{\partial \Phi}{\partial \vec{L}}$$

ищем
→

в виде

$$\vec{M} = \vec{m}_0 + \vec{m}$$

$$\vec{L} = \vec{l}_0 + \vec{l}$$

$$\vec{m} = m \cdot e^{-i(2\pi\nu_k t)}$$

$$\vec{l} = l \cdot e^{-i(2\pi\nu_k t)}$$

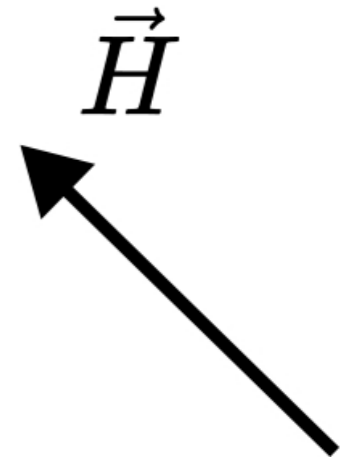


и получаем частоты ν_k

изотропный случай

термодинамический потенциал

$$\Phi = \Phi_0 + \frac{A}{2} \vec{L}^2 + \frac{B}{2} \vec{M}^2 + \frac{D}{2} (\vec{L} \vec{M})^2 - \vec{M} \vec{H}$$



изотропный случай

термодинамический потенциал

$$\Phi = \Phi_0 + \frac{A}{2} \vec{L}^2 + \frac{B}{2} \vec{M}^2 + \frac{D}{2} (\vec{L}\vec{M})^2 - \vec{M}\vec{H}$$

$$\frac{\partial \Phi}{\partial \vec{M}} = B\vec{M} + D(\vec{L}\vec{M})\vec{L} - \vec{H}$$

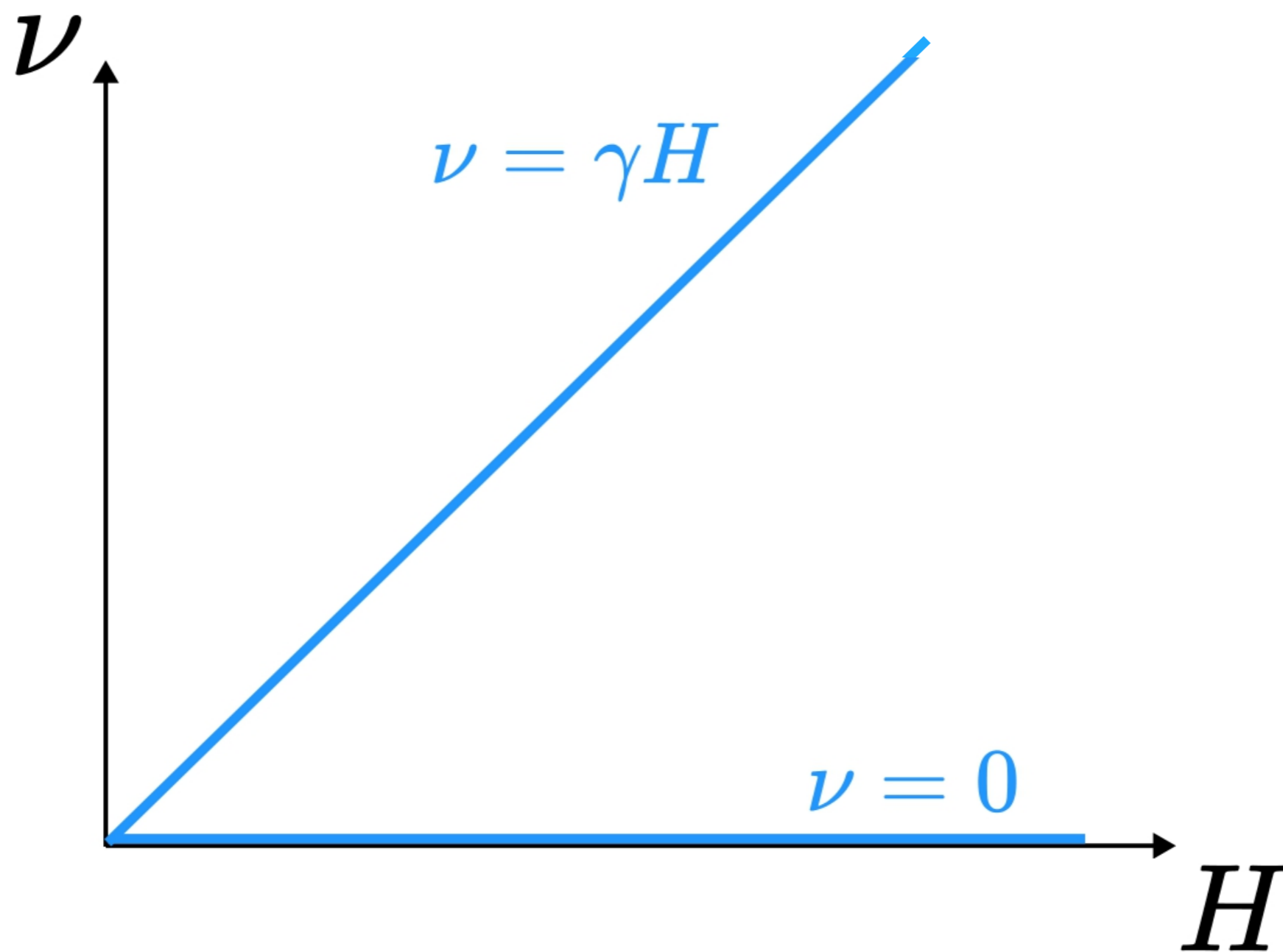
$$\frac{\partial \Phi}{\partial \vec{L}} = +D(\vec{L}\vec{M})\vec{M}$$



$$\frac{1}{\gamma} \frac{\partial \vec{L}}{\partial t} = \vec{L} \times \frac{\partial \Phi}{\partial \vec{M}} + \vec{M} \times \frac{\partial \Phi}{\partial \vec{L}}$$

$$\frac{1}{\gamma} \frac{\partial \vec{M}}{\partial t} = \vec{M} \times \frac{\partial \Phi}{\partial \vec{M}} + \vec{L} \times \frac{\partial \Phi}{\partial \vec{L}}$$

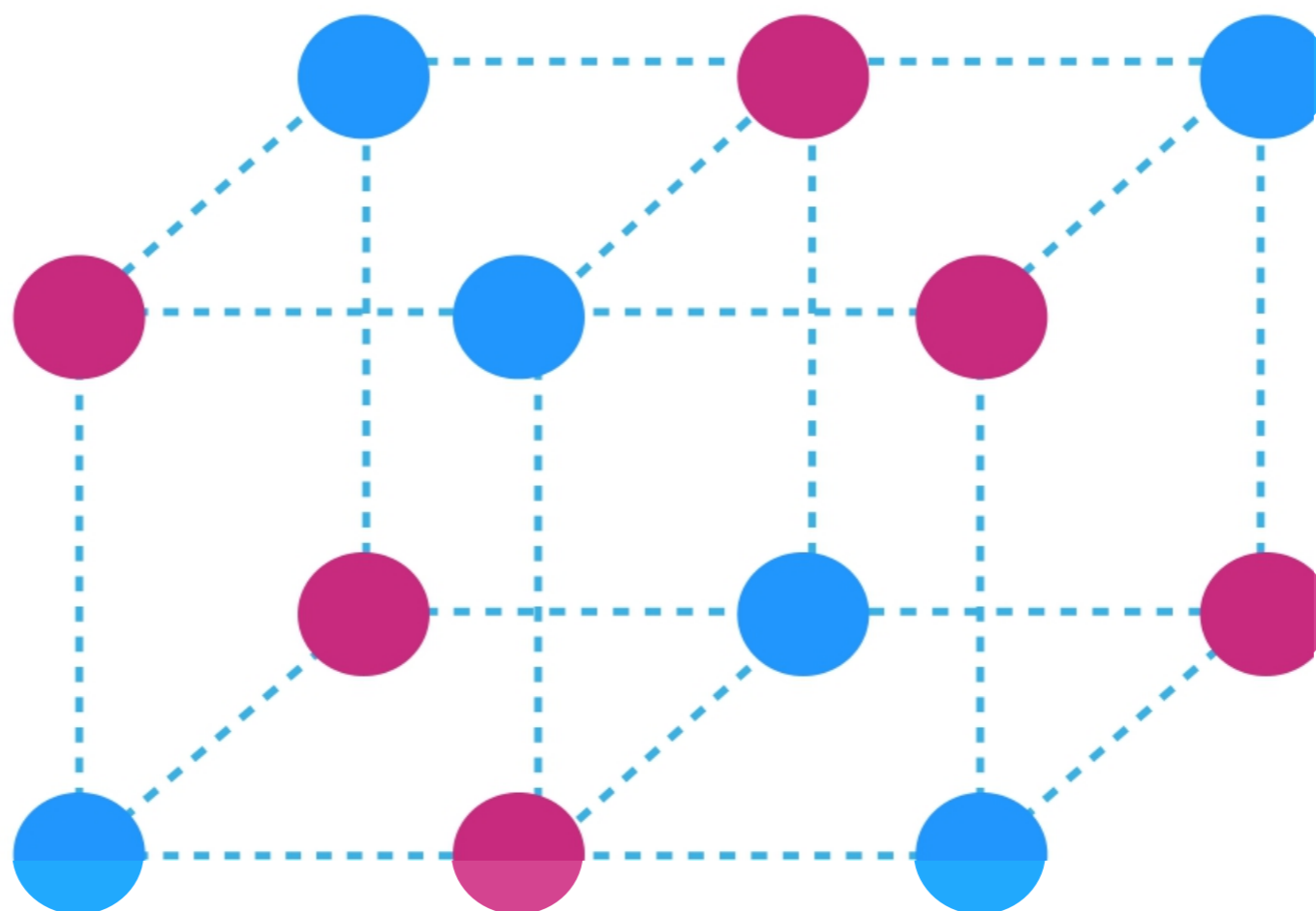
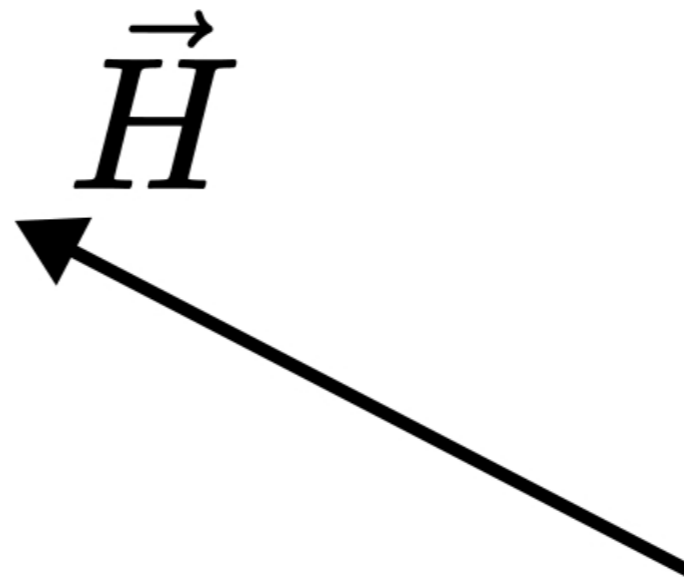
изотропный случай



анизотропия

орбитальный момент!

анизотропия



анизотропия

термодинамический потенциал для
изотропного случая:

$$\Phi = \Phi_0 + \frac{A}{2} \vec{L}^2 + \frac{B}{2} \vec{M}^2 + \frac{D}{2} (\vec{L}\vec{M})^2 - \vec{M}\vec{H}$$



анизотропия

термодинамический потенциал для изотропного случая:

$$\Phi = \Phi_0 + \frac{A}{2} \vec{L}^2 + \frac{B}{2} \vec{M}^2 + \frac{D}{2} (\vec{L}\vec{M})^2 - \vec{M}\vec{H}$$

**а что надо теперь надо
дописать в “энергию”?**



анизотропия

термодинамический потенциал для изотропного случая:

$$\Phi = \Phi_0 + \frac{A}{2} \vec{L}^2 + \frac{B}{2} \vec{M}^2 + \frac{D}{2} (\vec{L}\vec{M})^2 - \vec{M}\vec{H}$$



$$\Phi = \Phi_0 + \frac{A}{2} \vec{L}^2 + \frac{B}{2} \vec{M}^2 + \frac{D}{2} (\vec{L}\vec{M})^2 - \vec{M}\vec{H} - \frac{a}{2} L_z^2$$

лёгкая ось: $a > 0$

лёгкая плоскость: $a < 0$



лёгкая ось ($a > 0$)

термодинамический потенциал для изотропного случая:

$$\Phi = \Phi_0 + \frac{A}{2} \vec{L}^2 + \frac{B}{2} \vec{M}^2 + \frac{D}{2} (\vec{L}\vec{M})^2 - \vec{M}\vec{H}$$

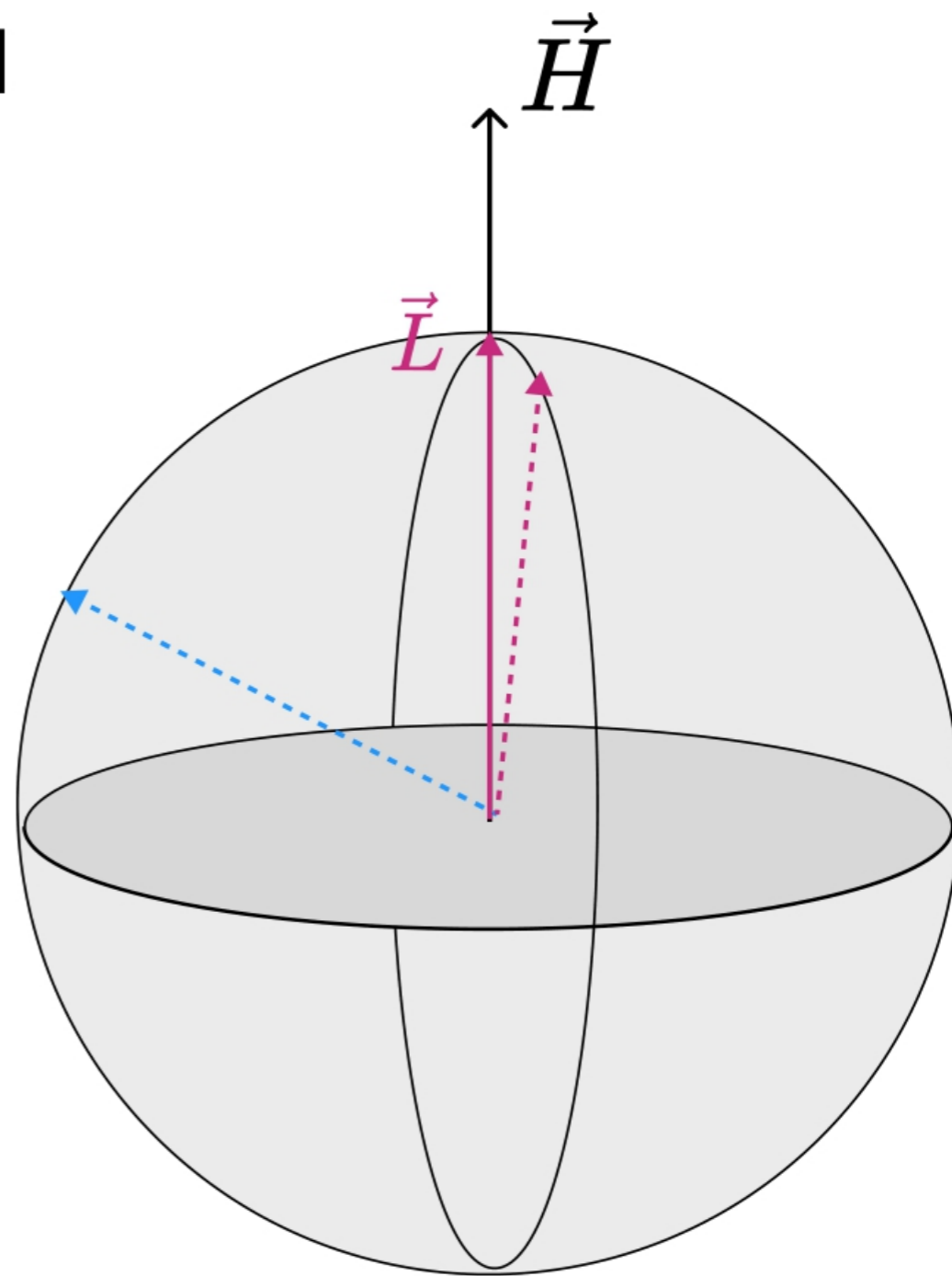
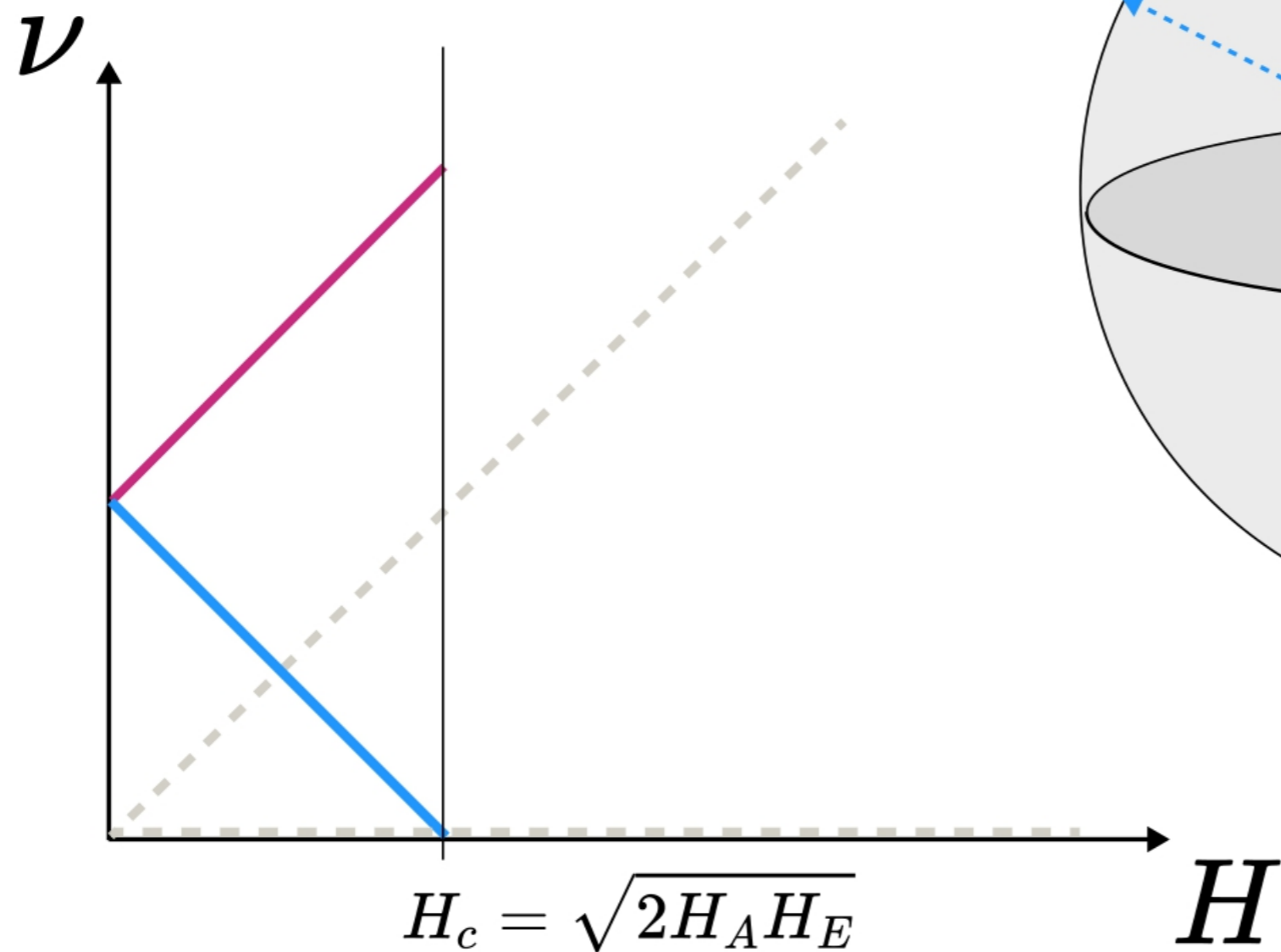
$$\Phi = \Phi_0 + \frac{A}{2} \vec{L}^2 + \frac{B}{2} \vec{M}^2 + \frac{D}{2} (\vec{L}\vec{M})^2 - \vec{M}\vec{H} - \frac{a}{2} L_z^2$$



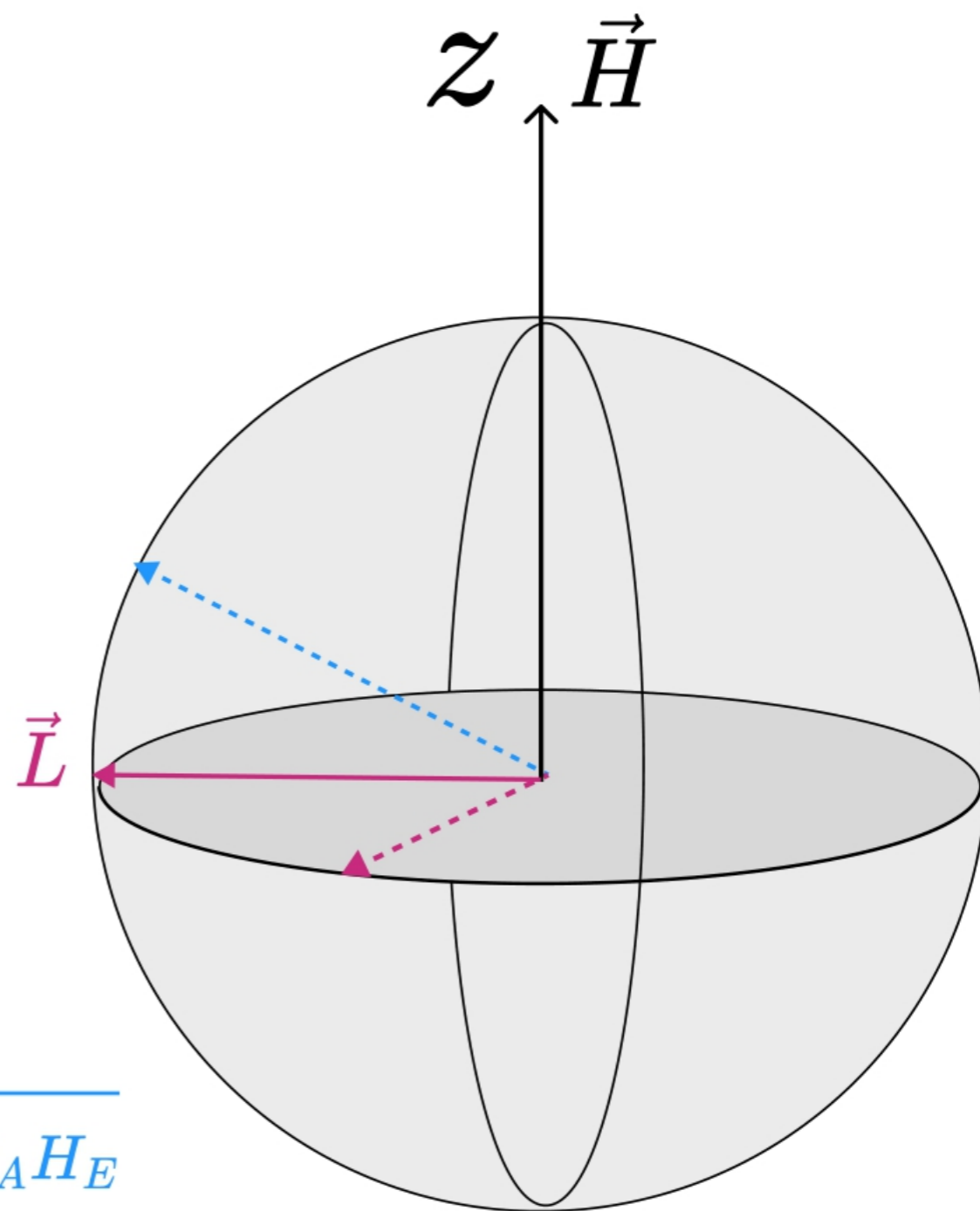
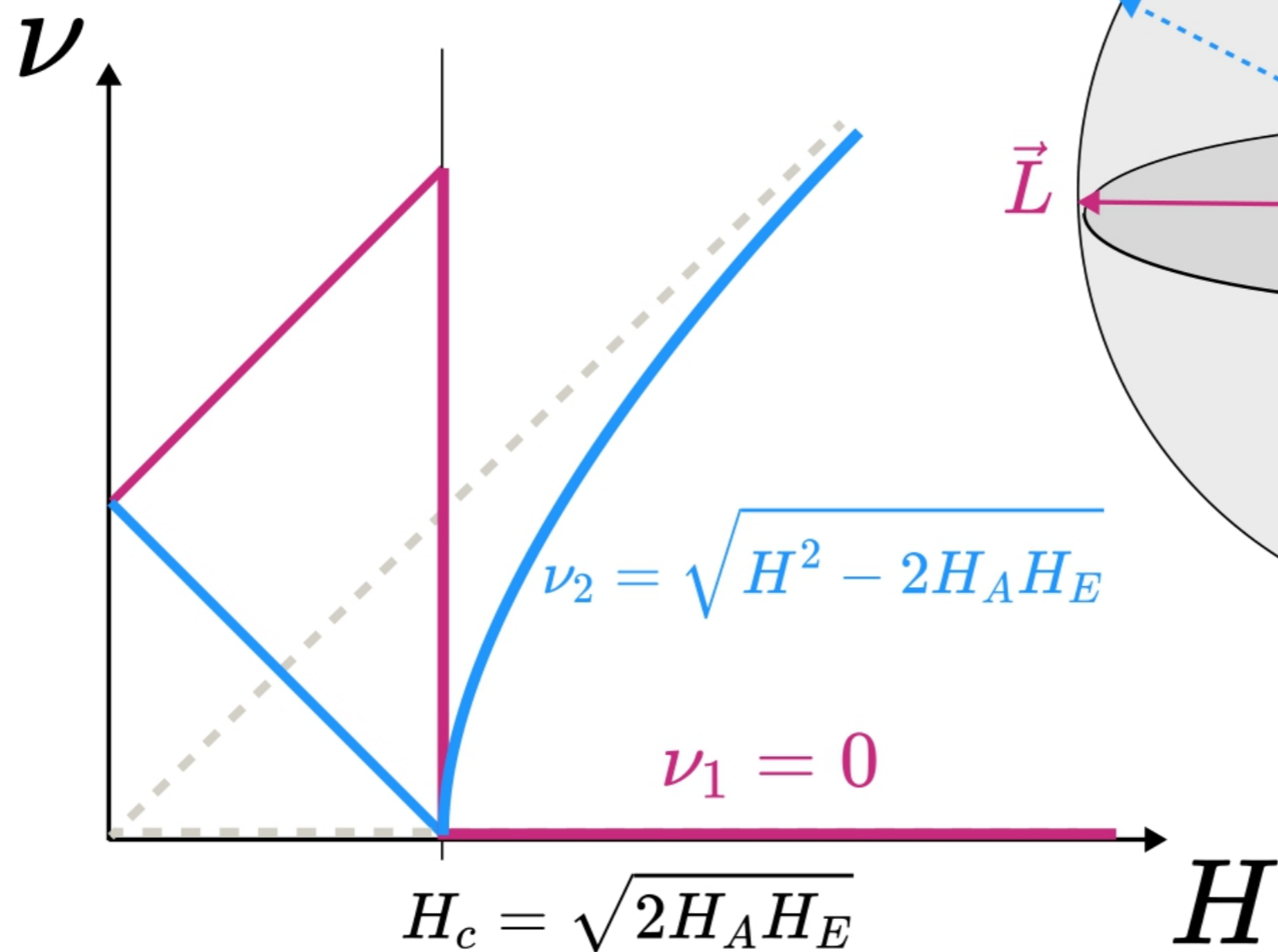
$$H_A = 2aM_0$$
$$H_E = BM_0$$

лёгкая ось: решения

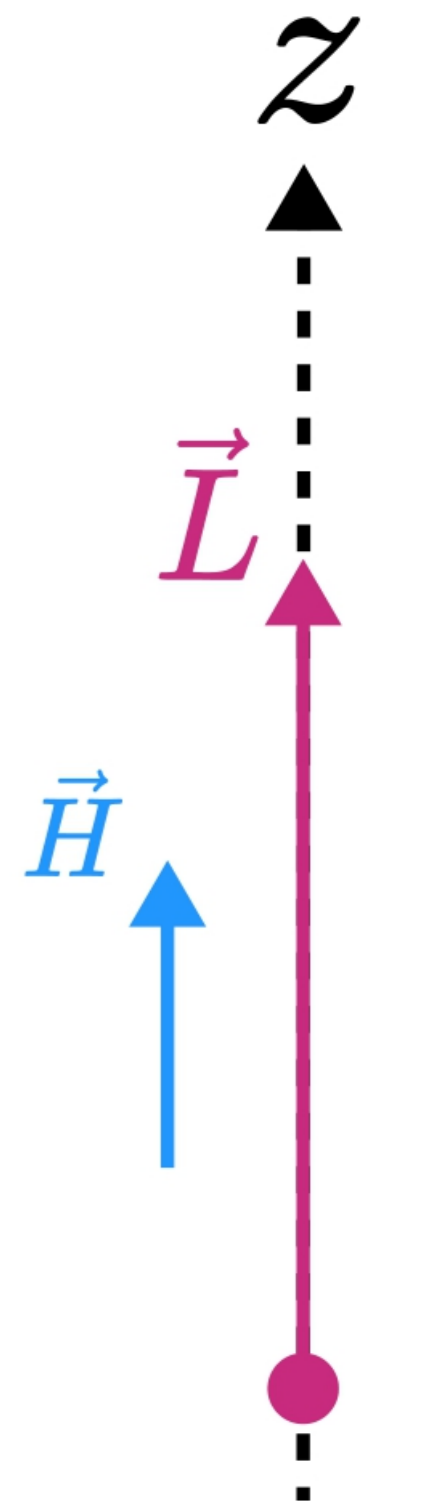
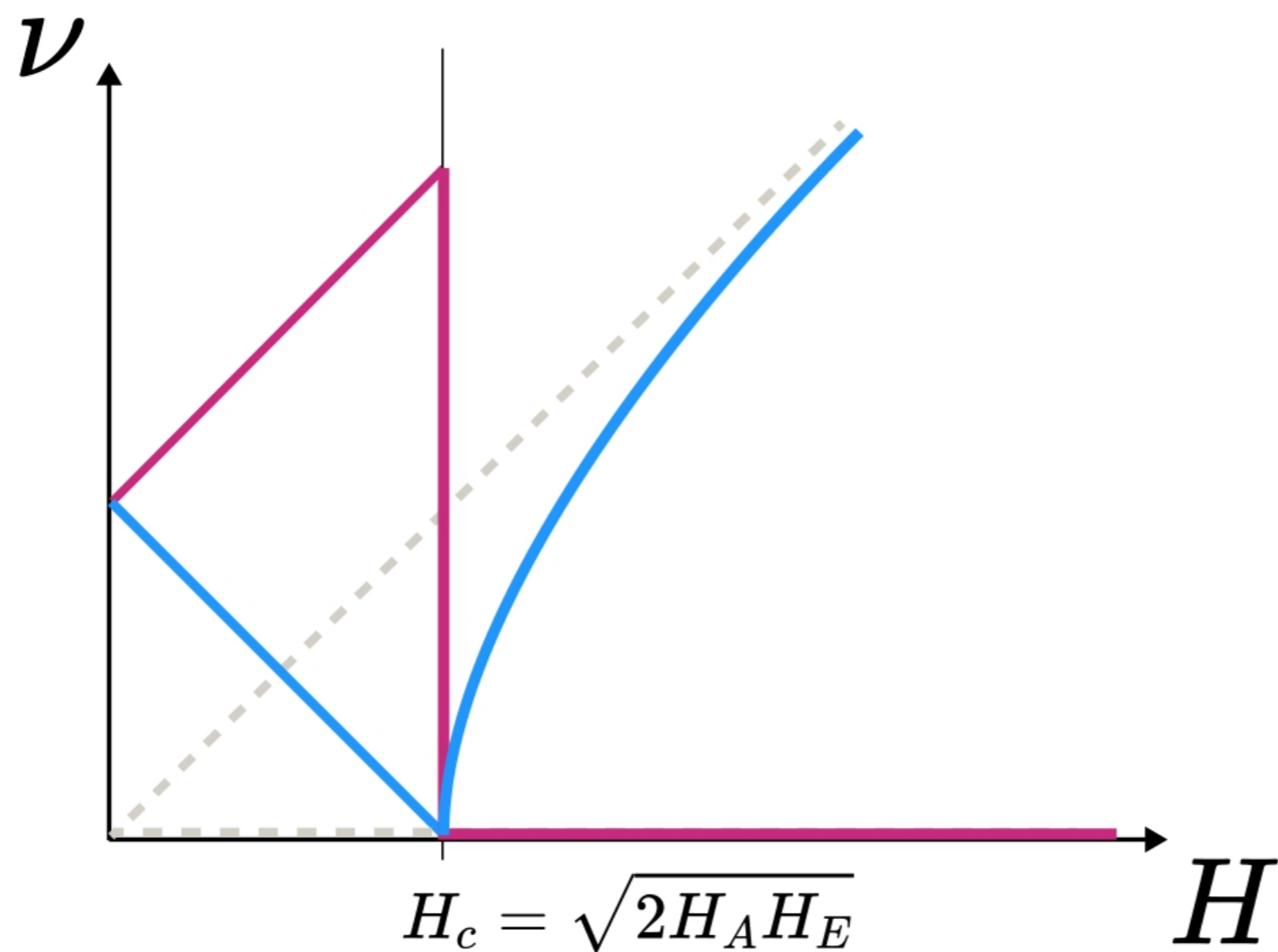
$$\nu_{1,2}/\gamma = \sqrt{2H_A H_E} \pm H$$



спин-флоп!



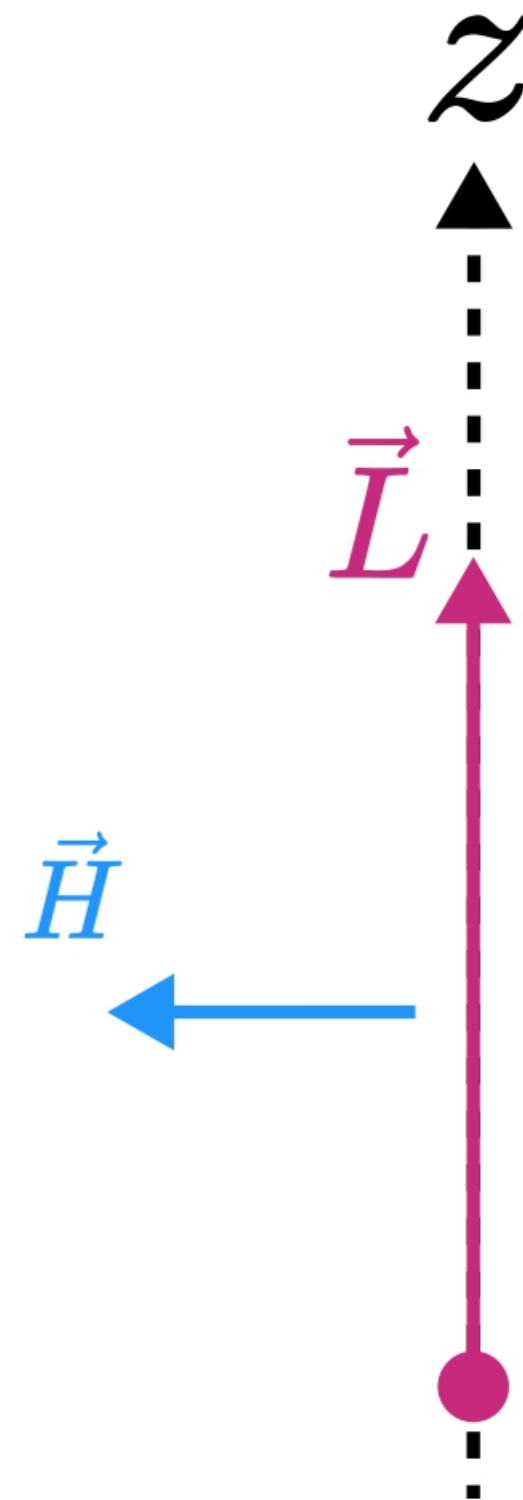
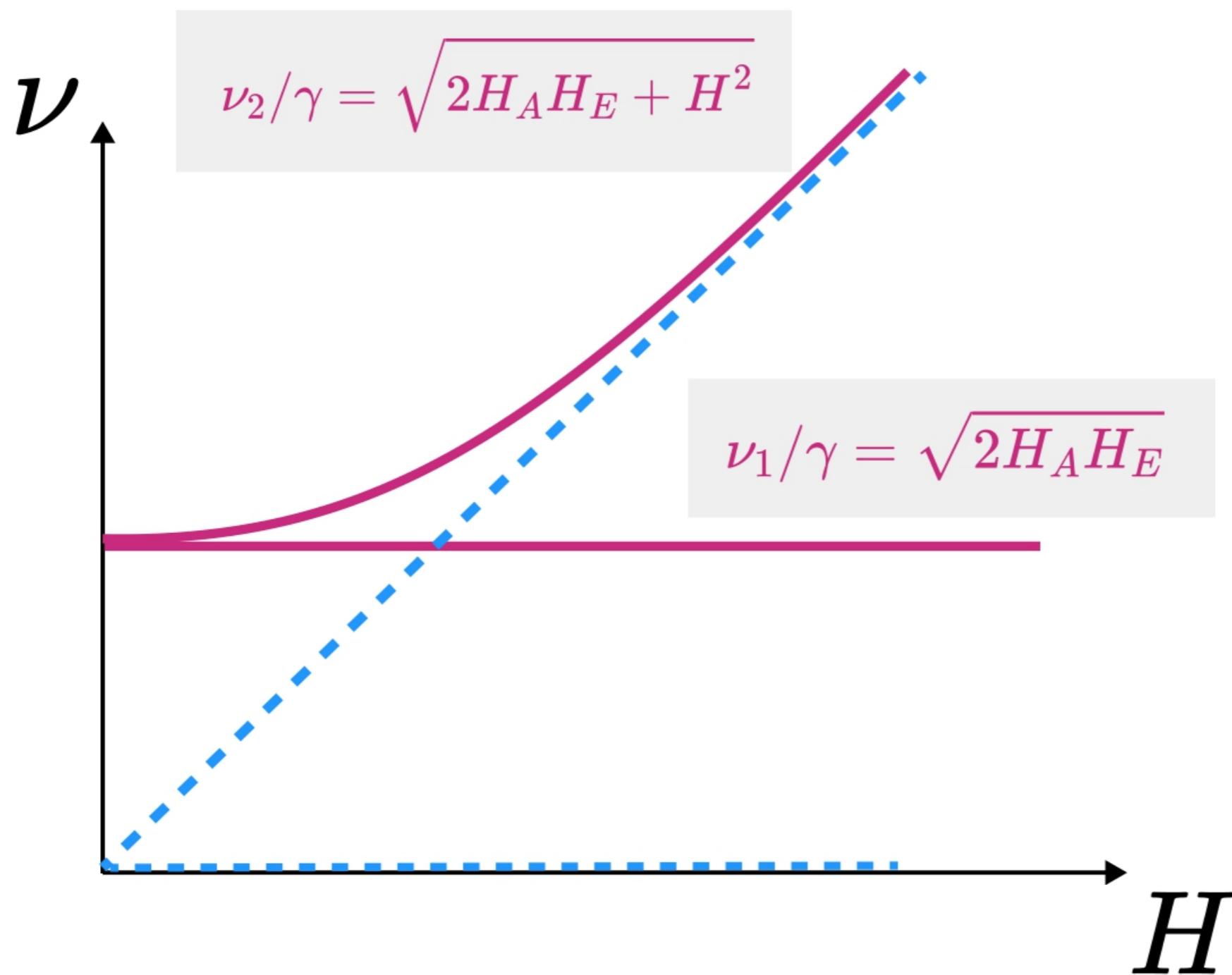
лёгкая ось: решения



$$H_A = 2aM_0$$

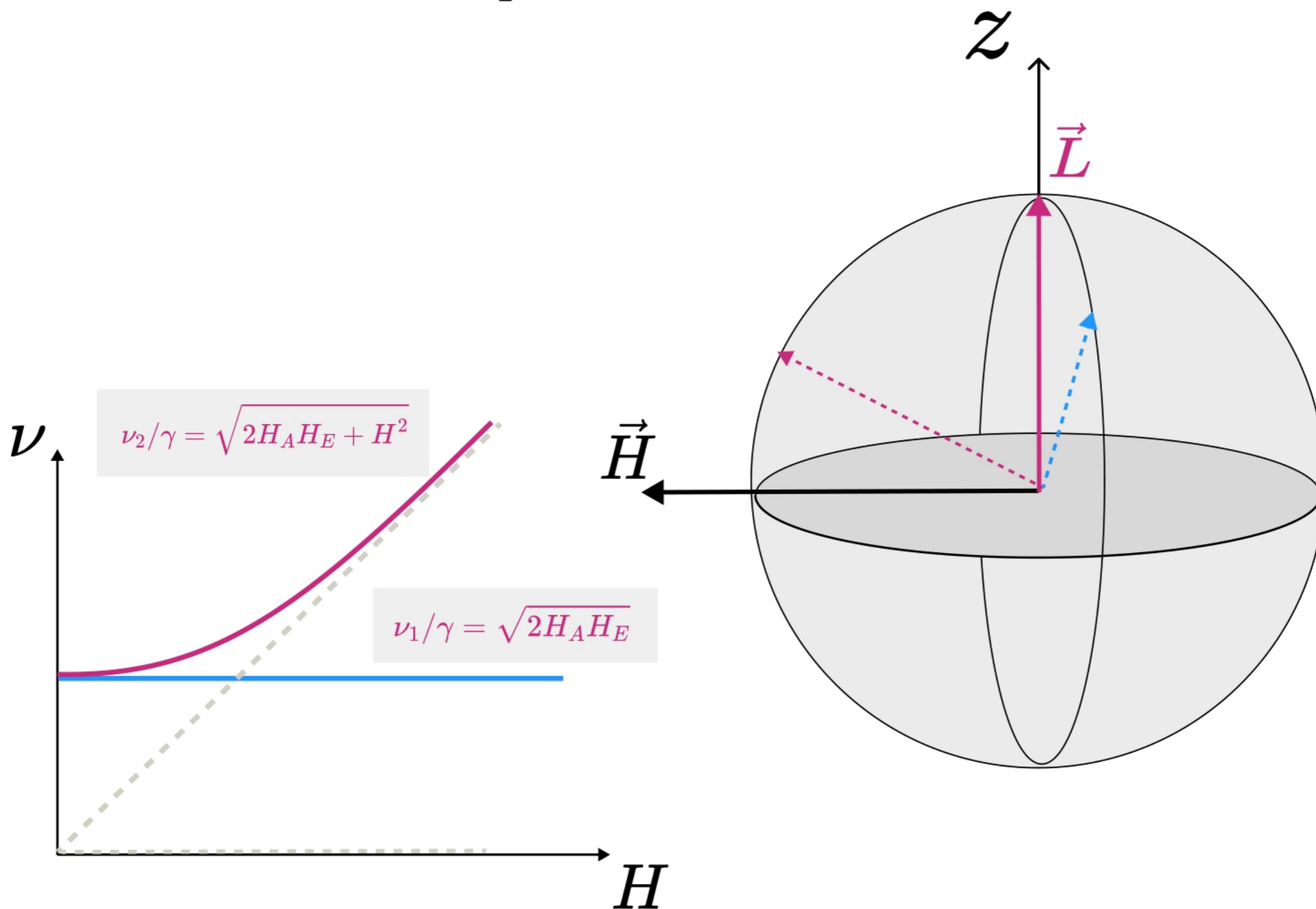
$$H_E = BM_0$$

лёгкая ось: решения



$$H_A = 2aM_0$$
$$H_E = BM_0$$

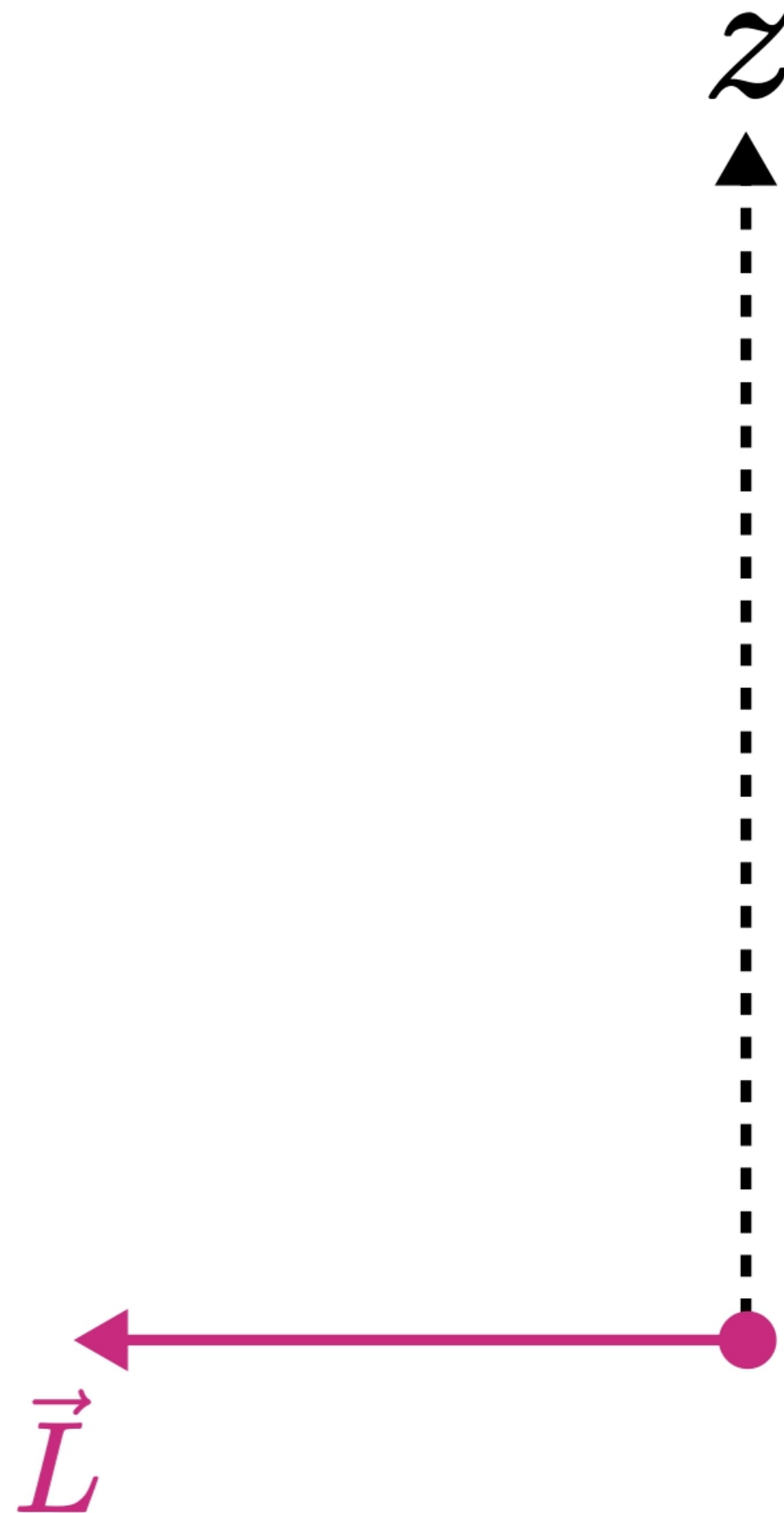
лёгкая ось: решения



лёгкая плоскость

термодинамический потенциал для изотропного случая:

$$\Phi = \Phi_0 + \frac{A}{2} \vec{L}^2 + \frac{B}{2} \vec{M}^2 + \frac{D}{2} (\vec{L}\vec{M})^2 - \vec{M}\vec{H}$$



лёгкая плоскость ($a < 0$)

термодинамический потенциал для изотропного случая:

$$\Phi = \Phi_0 + \frac{A}{2} \vec{L}^2 + \frac{B}{2} \vec{M}^2 + \frac{D}{2} (\vec{L}\vec{M})^2 - \vec{M}\vec{H}$$

лёгкая плоскость:

$$\Phi = \Phi_0 + \frac{A}{2} \vec{L}^2 + \frac{B}{2} \vec{M}^2 + \frac{D}{2} (\vec{L}\vec{M})^2 - \vec{M}\vec{H} - \frac{a}{2} L_z^2$$

$$H_A = 2aM_0$$

$$H_E = BM_0$$

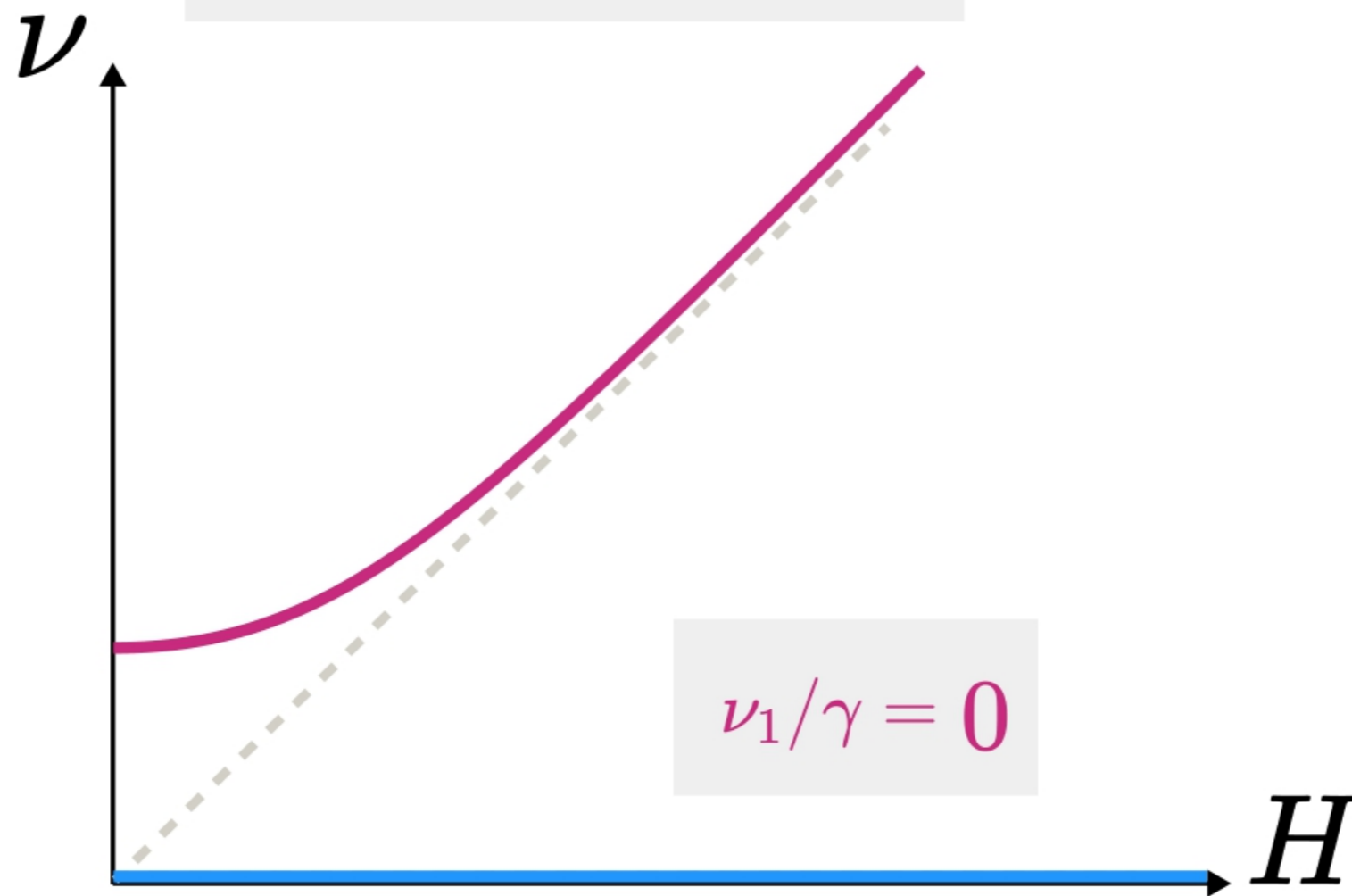
z



\vec{L}

лёгкая плоскость: решения

$$\nu_2/\gamma = \sqrt{2H_A H_E + H^2}$$



$$\nu_1/\gamma = 0$$

$$H_A = 2aM_0$$

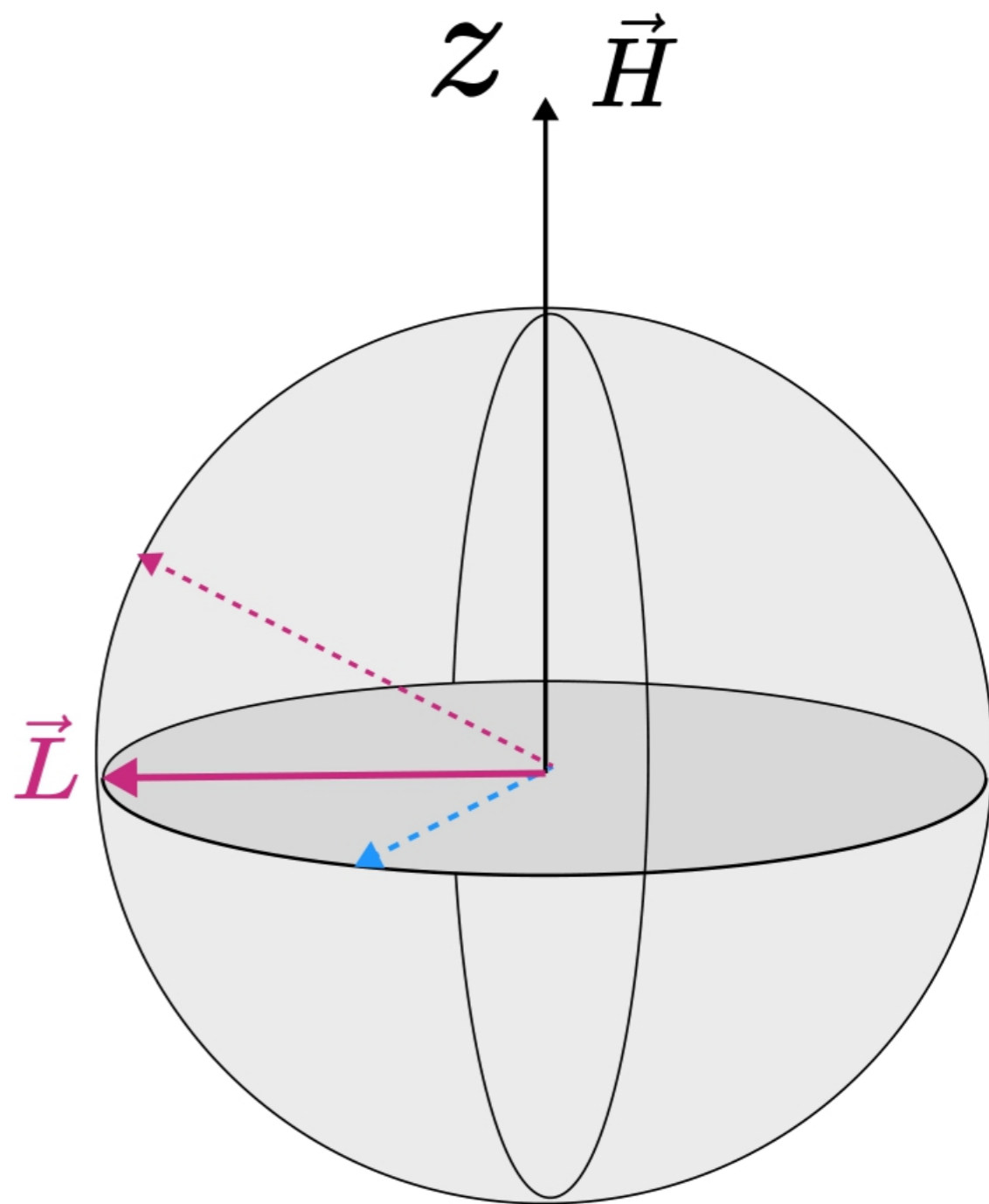
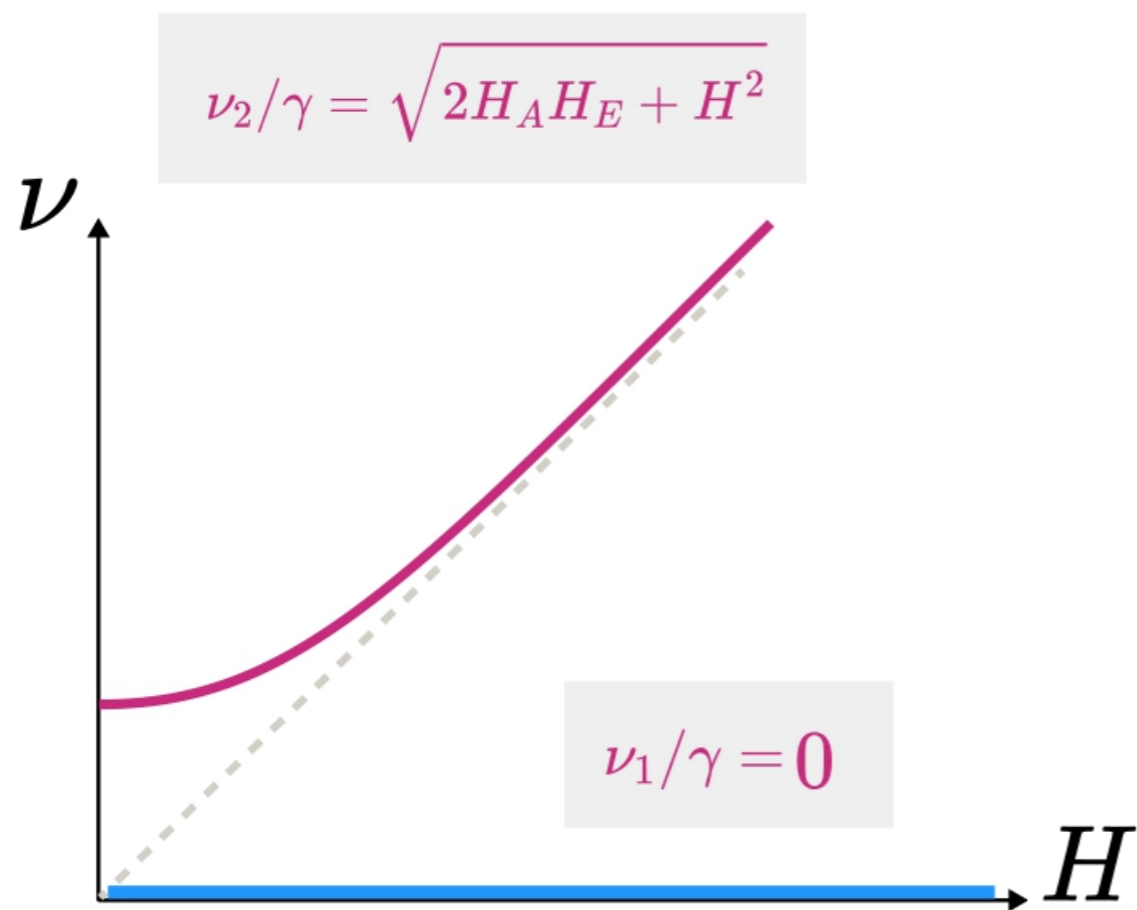
$$H_E = BM_0$$

\vec{L}

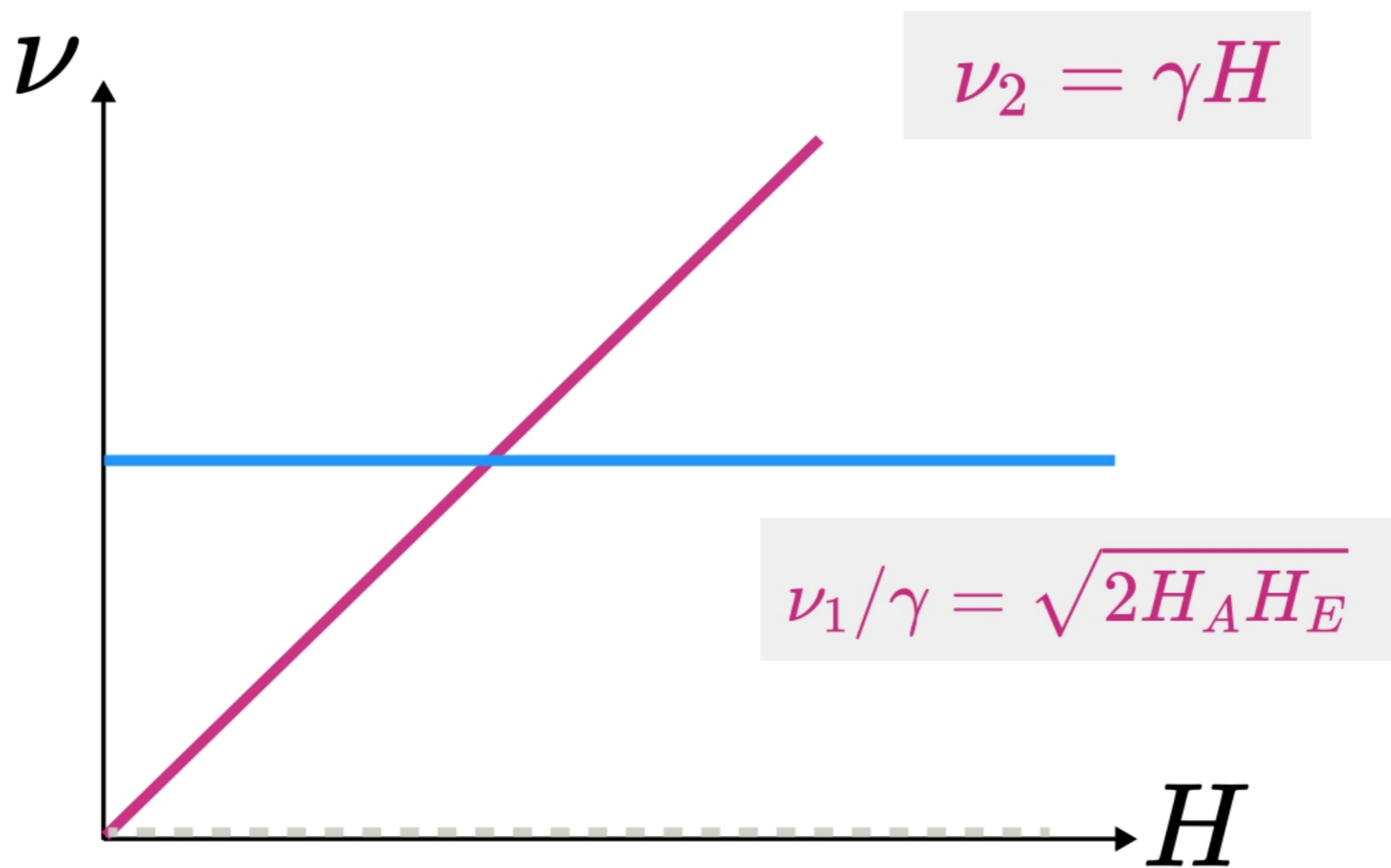
\vec{H}

z

лёгкая плоскость: решения



лёгкая плоскость: решения

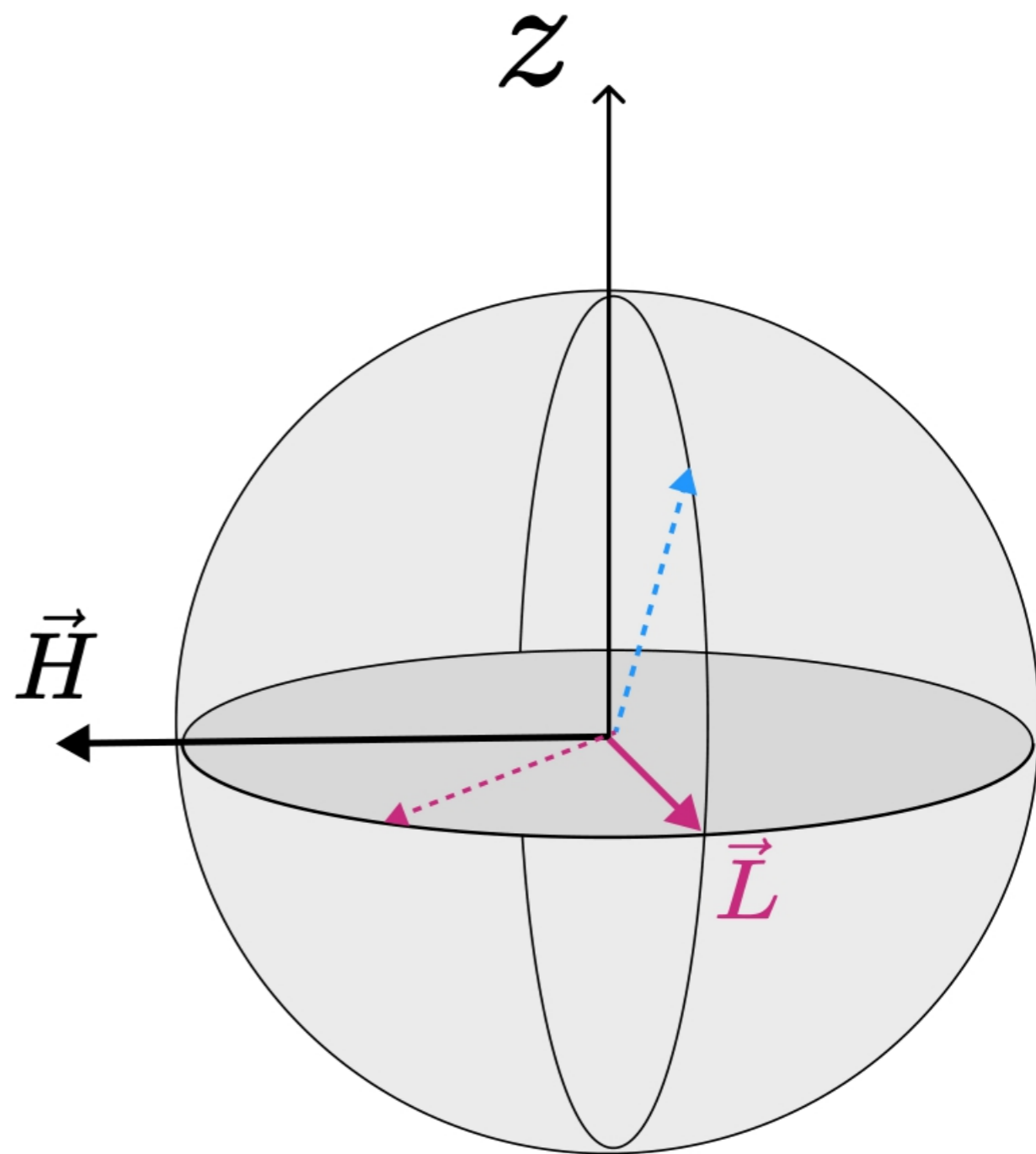
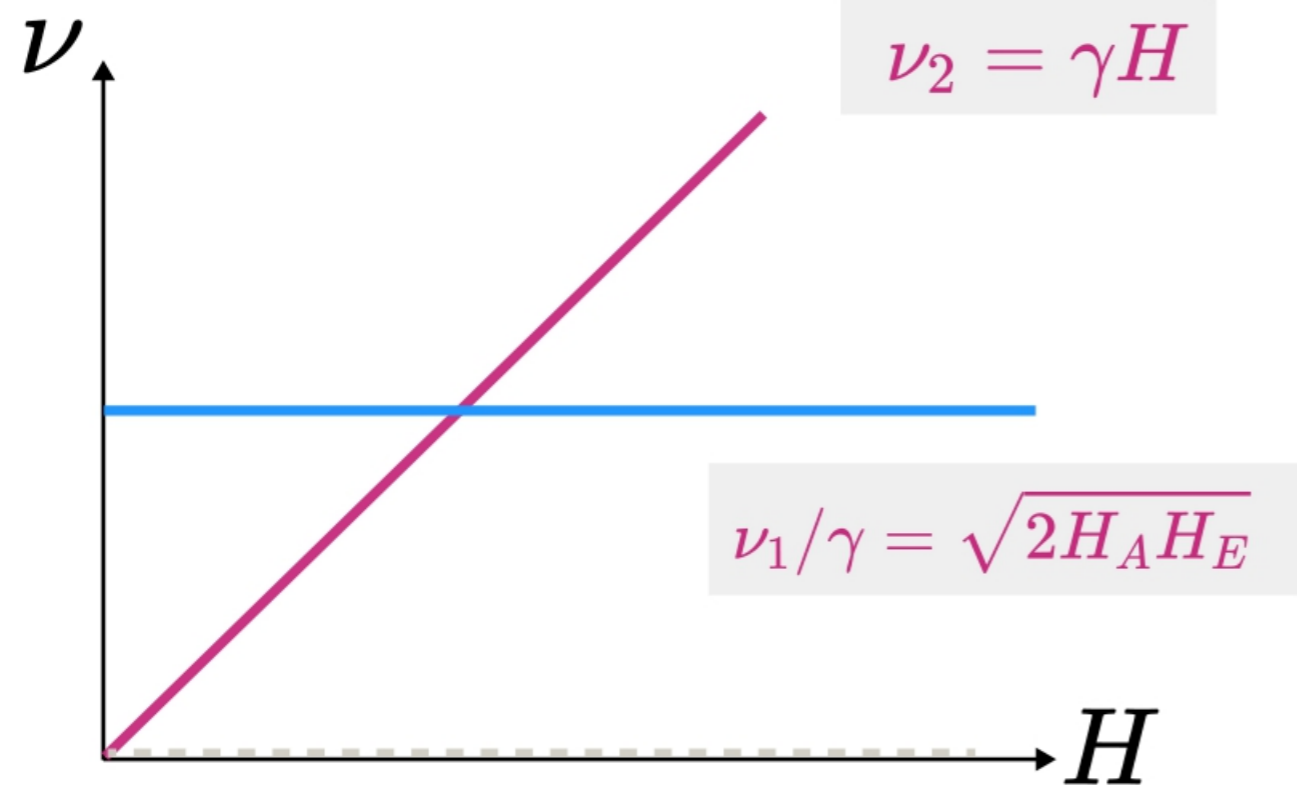


$$H_A = 2aM_0$$

$$H_E = BM_0$$



лёгкая плоскость: решения



легкая ось MnF_2

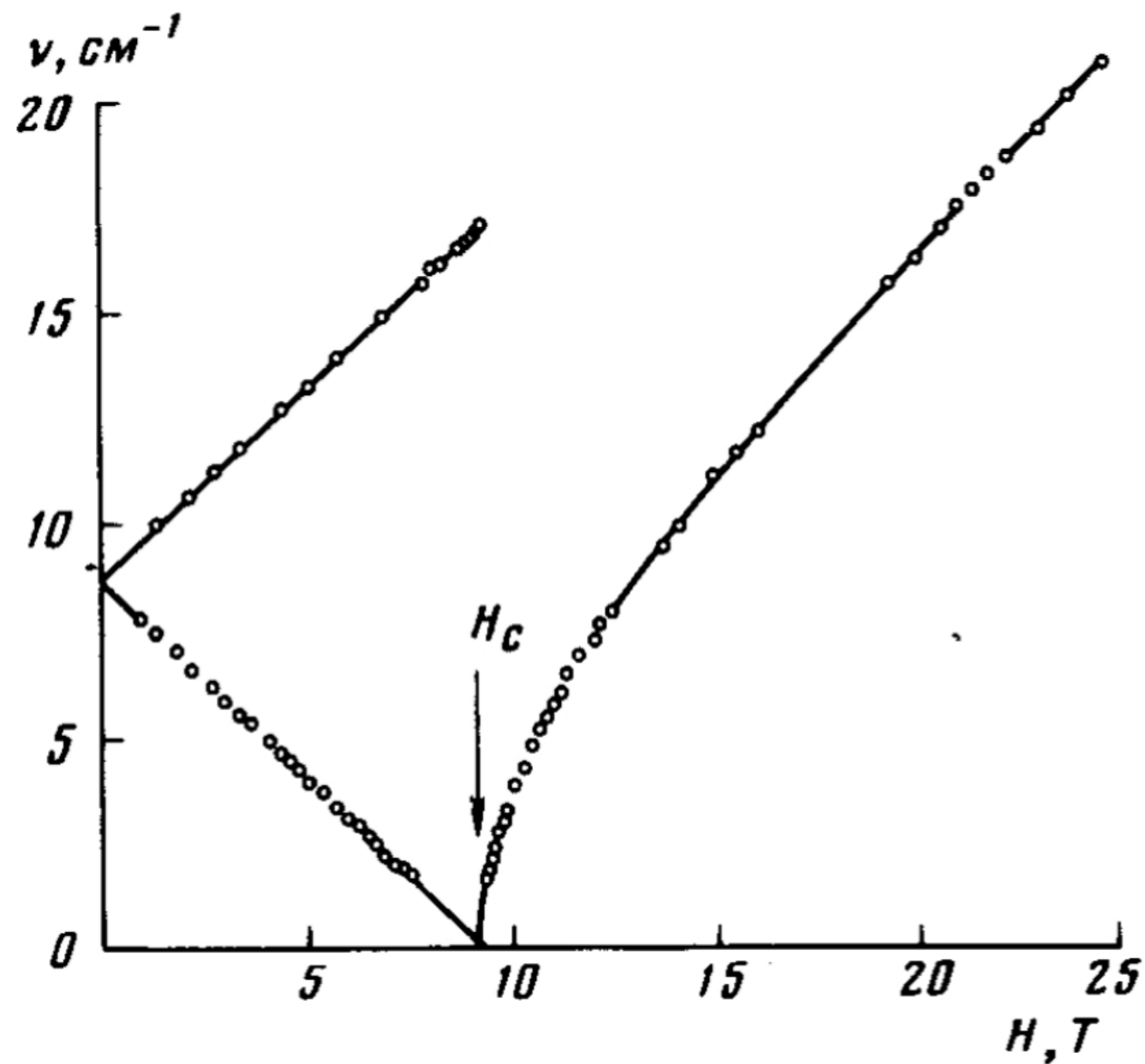
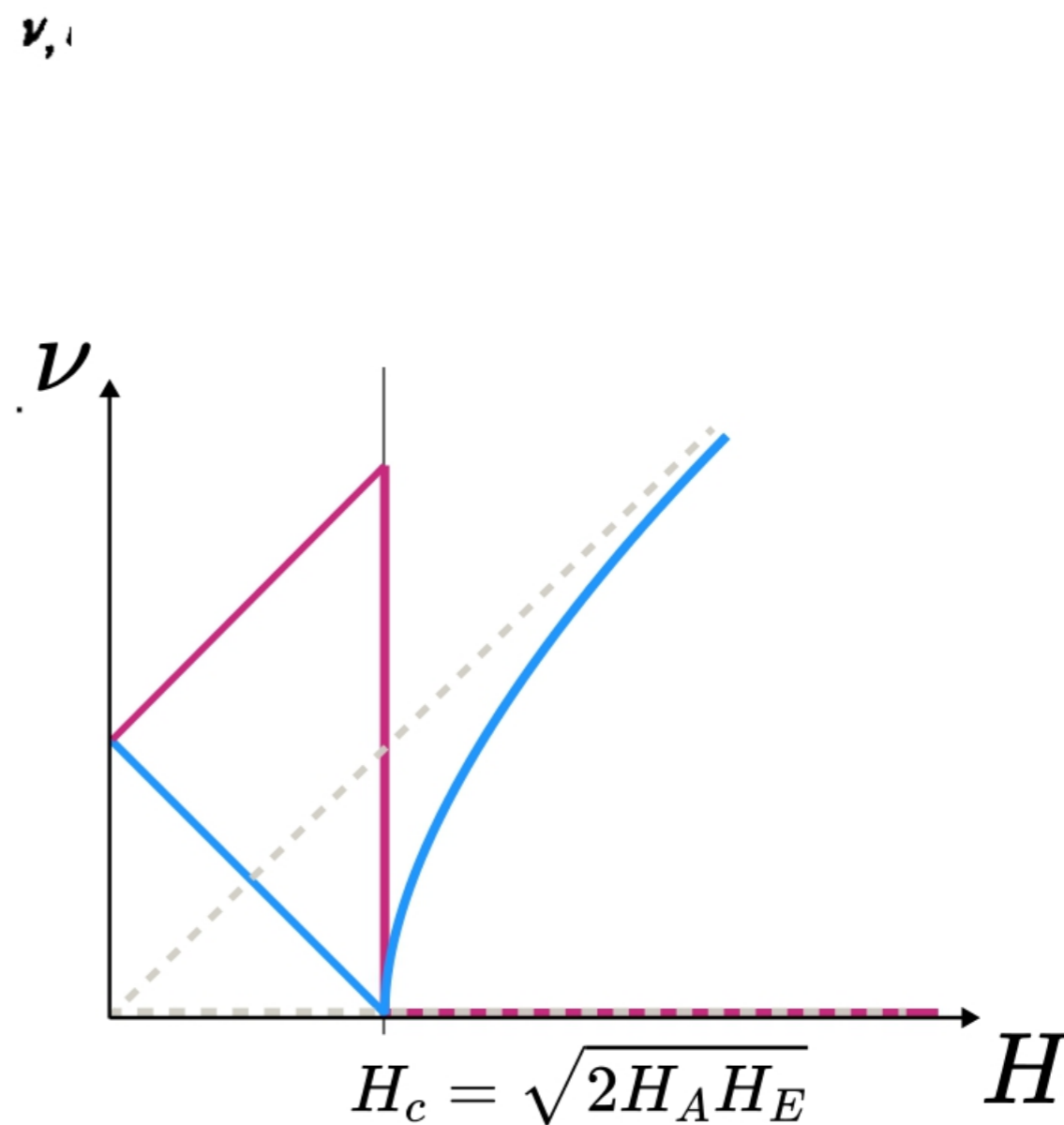


Рис.1

Рис. 1. Частотно-полевая зависимость АФМР в MnF_2 при $\psi = 0 \pm 1'$; сплошные линии – теория^{7,8}



легкая плоскость MnCO_3

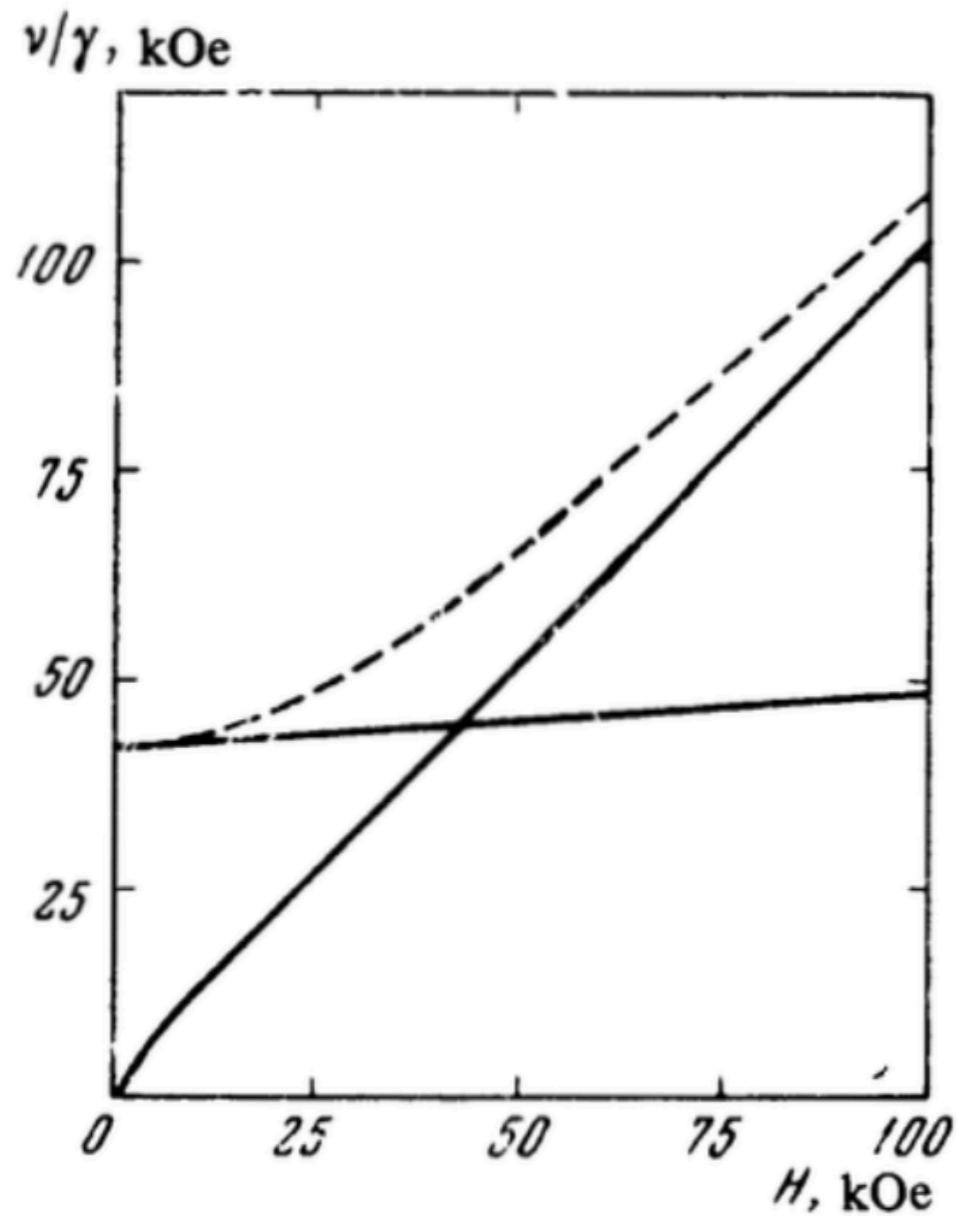
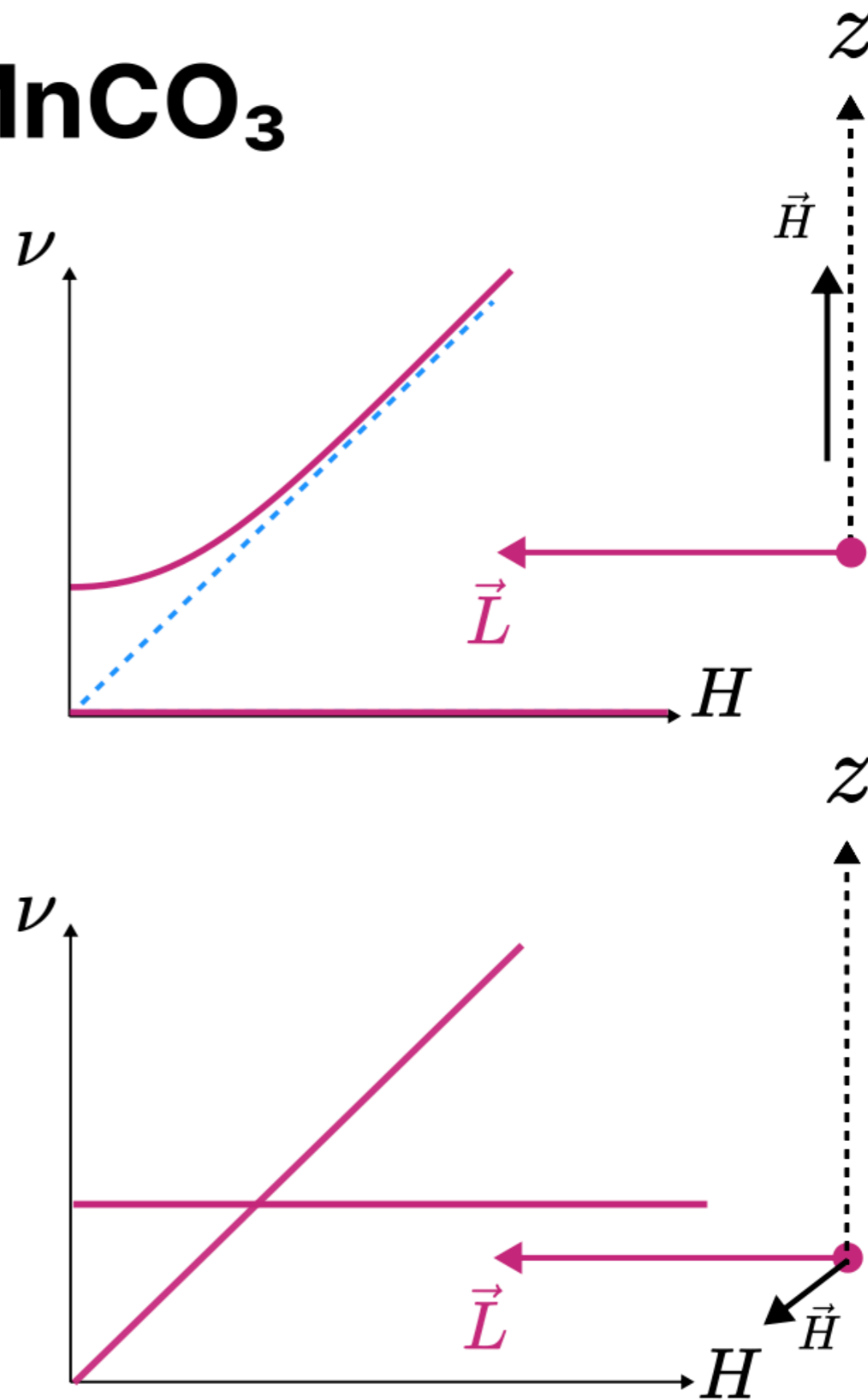


FIG. 1. Spectrum of AFMR in MnCO_3 at $T = 4.2^\circ\text{K}$. Solid curves — $\mathbf{H} \perp z$, dashed — $\mathbf{H} \parallel z$.





ВСЁ!